

LA FORMACIÓN DEL PAISAJE MEDIEVAL:
EL ORIGEN DE LA RED ALDEANA EN EL ALTO ARLANZA
MINISTERIO DE ECONOMIA Y COMPETITIVIDAD
[HAR2012-33673]

MEMORIA DE LOS
TRABAJOS DE EXCAVACIÓN ARQUEOLÓGICA
EN EL YACIMIENTO DE REVENGA
(2015)

Comunero de Revenga, 1-15 de Agosto de 2015

Dirección de la intervención: M^a Dolores López Pérez
Universidad de Barcelona

Redacción de la memoria: Karen Álvaro Rueda
Esther Travé Allepuz
Universidad de Barcelona



ÍNDICE

1. Situación	5
2. Descripción de la intervención.....	7
2.1 Motivación de la intervención	7
2.2 Periodo de desarrollo de la intervención	8
2.3 Metodología de trabajo.....	8
• <i>Fases del proceso de intervención</i>	8
• <i>El protocolo de registro y la base de datos</i>	10
2.4 Resultados	13
a. Resultados de los trabajos de prospección en superficie	15
• <i>Prospección sobre RM6</i>	15
• <i>Prospección sobre RM7</i>	16
• <i>Prospección sobre la Campiña Sur</i>	17
b. Resultados de los trabajos de excavación:	
Estructuras, niveles de ocupación, hábitat y producción.....	18
• <i>Excavación de los niveles inferiores sobre RM1</i>	19
• <i>Excavación de un sondeo de potencia estratigráfica sobre RM4</i>	20
• <i>Excavación de los niveles de hábitat y producción sobre RM2-RM3.....</i>	24
• <i>Las huellas del poblamiento y su cronología.....</i>	28
c. Los materiales arqueológicos.....	31
3. Conclusiones	41
4. Bibliografía y referencias	43
5. Anejos	
1. Planimetría, secciones y láminas	
2. Registro fotográfico	
3. Registro de Unidades Estratigráficas (UE)	
4. Inventario de materiales	

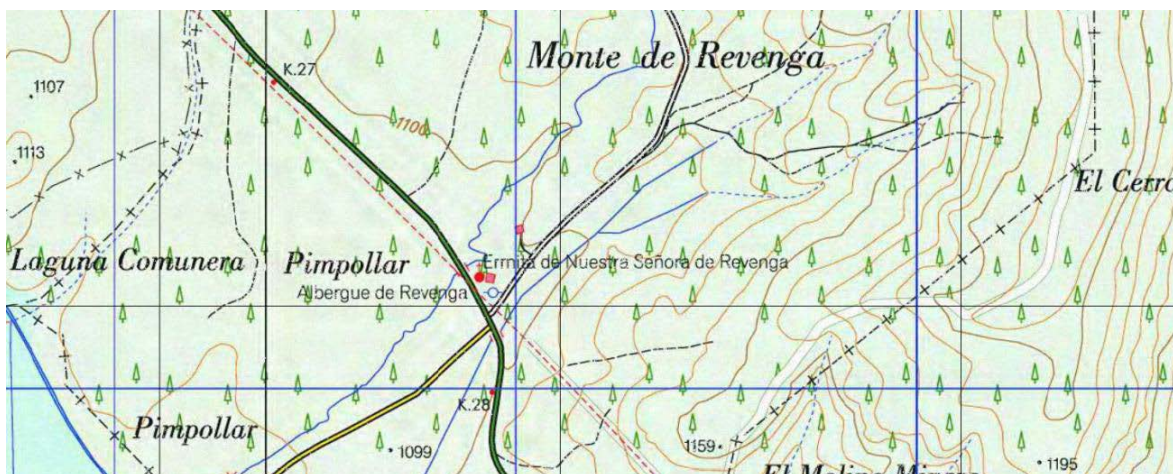
1. SITUACIÓN



1:2500

Nombre:	Despoblado de Revenga		
Municipio/Demarcación:	Comunero de Revenga		
Localización:	Datum ETRS 89:	Lon. 3°, 00', 38.78"	Lat. 41°, 57', 35.57"
	UTM zona 30:	X(m) 499.107	Y(m) 4645.322
	HOJA MTN.	Esc1/25000	Núm. 316-2

Fuente: Ortofoto. PNOA. Cartografía. PTN. Iberprix. Instituto Geográfico Nacional



El yacimiento de Revenga se sitúa en el interfluvio formado por el río Torralba y un arroyo que vierte aguas al río Zumel. Sobre un espacio abierto en el bosque destaca un promontorio rocoso en el que se dispone una gran necrópolis de tumbas excavadas en la roca que aparece presidida por las huellas de un edificio de culto de carácter semirupestre. Al norte de esta área cementerial se advierten dispersos por el asentamiento los vestigios correspondientes a las estructuras aldeanas que correspondían a este despoblado. La necrópolis rupestre que tiene una superficie estimada de unos 2000 metros cuadrados ofrece más de un centenar de enterramientos.

2. DESCRIPCIÓN DE LA INTERVENCIÓN

2.1 Motivación de la intervención

El estudio del poblamiento altomedieval del Alto Arlanza debe partir de la constatación de que el registro arqueológico disponible sobre estos asentamientos es todavía muy insuficiente y fragmentado. La “monumentalidad”, que revisten los vestigios arqueológicos de estas necrópolis rupestres, no puede ocultar que tenemos en realidad un conocimiento claramente deficitario, ya que son pocas y relativamente escasas las informaciones con las que contamos a la hora de aproximarnos a estas comunidades aldeanas.

Con el objetivo de completar el registro arqueológico, en gran medida desconocido, de los espacios de hábitat que ocuparon estas comunidades rurales, en 2014 se iniciaron las excavaciones arqueológicas en el Despoblado de Revenga, con el objetivo de definir en la medida de las posibilidades la morfología y características del poblamiento altomedieval de este territorio, y señalar a partir de las evidencias materiales, cuáles han sido las unidades y otras formas elementales del poblamiento que articulan un espacio de montaña.

Estos trabajos de excavación, enmarcados dentro de los objetivos de un proyecto I+D vigente (HAR2012-33673), han sido continuados durante la intervención de 2015, para la cual se determinaron unas tareas precisas a realizar en función de la necesidad de dar cumplimiento a los objetivos propuestos en el proyecto y a la luz de los resultados obtenidos en 2014. Dichos resultados, consultables en la memoria realizada a tal efecto, condicionaron el planteamiento de la campaña actual.

La intervención de 2015 ha sido planteada sobre el terreno en base a los siguientes objetivos:

- 1.- Ampliar la superficie de excavación y detectar las principales unidades de hábitat existentes a partir de la limpieza sistemática de las floraciones rocosas identificadas en 2014 (RM1, RM2 y RM3).
- 2.- Delimitar en planta otras floraciones de arenisca detectadas en 2014 a fin de determinar nuevos espacios de intervención e intervenir en ellos en la medida de las posibilidades del calendario.
- 3.- Prospeccionar la campiña cercana al riachuelo que fluye en el área meridional del yacimiento a fin de determinar la presencia o no de estructuras domésticas y delimitar su morfología.
- 4.- Examinar un sector, no excavado, de la necrópolis de Revenga, con la finalidad de probar la continuidad y perduración del lugar de enterramiento, como parecen insinuar las fuentes documentales.
- 5.- Identificar los espacios con mayor potencia estratigráfica a fin de realizar un sondeo que permita recuperar estructuras de poblamiento.

2.2 Periodo de desarrollo de la intervención y equipo técnico

La intervención de excavación arqueológica en el yacimiento de Revenga se ha llevado a cabo entre los días 2-12 de agosto de 2015 a cargo de un equipo de 12 personas bajo la dirección científica de la Dra. M.D. López, investigadora principal del proyecto I+D en el que se enmarca la intervención (HAR2012-33673). Los integrantes del equipo de investigación de la Universidad de Barcelona son miembros activos del “Grupo de Investigación de Arqueología Medieval y Postmedieval” (GRAMP.-UB), grupo de investigación consolidado desde 1995 por la Generalidad de Cataluña (2014SGR1252) y dirigido por la Dra. M.D. López, y estudiantes del grado de Arqueología.

2.3 Metodología de trabajo

Tras la intervención de 2014, la existencia de las floraciones rocosas denominadas RM1, RM2 y RM3 y su delimitación ha permitido la concentración de los trabajos de campo en la zona de estas floraciones principalmente. Así mismo, se han delimitado cinco floraciones más (RM4, RM5, RM6, RM7 y RM8) y se ha excavado un sondeo sobre RM4. La metodología para afrontar el estudio de estas estructuras altomedievales sólo es posible mediante la excavación en extensión, como se viene demostrando en otros yacimientos del norte peninsular. Esta estrategia es la adecuada para trabajar en este tipo de yacimientos, tanto en atención a la naturaleza de las estructuras como a la existencia de amplios espacios vacíos en el seno de estas aldeas.

Por ello, en 2015, se ha optado por ampliar al máximo la superficie intervenida, hecho que ha sido posible gracias al mayor número de efectivos sobre el terreno y a la escasa potencia estratigráfica de los espacios intervenidos. Esta escasez de sedimento, no actúa en detrimento de su complejidad, puesto que en una potencia relativamente escasa del mismo –alrededor de 20-30 cm– se aprecia una concentración de niveles, habitualmente tres como mínimo, que requieren de una excavación minuciosa y una documentación exhaustiva por medio del registro topográfico y la cobertura fotográfica diaria de los sectores intervenidos, así como la recuperación de muestras y material arqueológico para su posterior clasificación y estudio.

FASES DEL PROCESO DE INTERVENCIÓN:

Nuestra metodología una vez definido el espacio de intervención, contempla tres fases claramente diferenciadas:

- Fase 1 o fase de campo: Incluye todas las actividades relacionadas con la excavación arqueológica en tiempo real, es decir con el movimiento de tierras, identificación, documentación y destrucción o preservación del vestigio arqueológico. En las áreas intervenidas en 2014-2015, esta fase se da por concluida habiendo llegado al nivel del suelo rocoso, a la espera de poder intervenir en nuevas áreas en intervenciones futuras. Esta fase consta de las tareas siguientes:

- **Delimitación del área de intervención** a partir de un sondeo visual de prospección superficial llevado a cabo durante el primer día de excavación, a fin de delimitar un espacio potencialmente rico en estratigrafía a fin de

realizar una cata puntual y establecer las grandes superficies de suelo rocoso a estudiar.

- **Levantamiento de la cubierta superficial** del yacimiento y delimitación de niveles arqueológicos.
- **Identificación y registro de todos los niveles levantados** (estériles o no) mediante la realización de un registro estratigráfico y topográfico minucioso. Para ello, cada nivel dispone de una ficha de registro y una planta acotada.
- **Registro fotográfico diario del sector.**
- **Extracción de muestras** de sedimento de los niveles fértiles para la realización de análisis palinológicos. Este tipo de muestreo se ha realizado de manera exhaustiva en todos los encajes y postes excavados a fin de poder analizar la totalidad del sedimento.
- **Riego diario de la zona de excavación:** del mismo modo que en la campaña anterior, hemos contado con la colaboración desinteresada de las administraciones locales y provinciales para facilitar las tareas diarias de riego que facilitan la identificación de niveles en unos suelos por lo general áridos y arenosos, por lo que aprovechamos la redacción de este informe para agradecer encarecidamente la colaboración del cuerpo de guardas forestales y bomberos de la Diputación de Burgos, que se prestaron a contribuir a los trabajos mediante el riego diario, supervisado por la dirección técnica del equipo (*fig. 1*).



Fig. 1: Trabajos de riego y humidificación del terreno a fin de facilitar las tareas de identificación y excavación de niveles arqueológicos.

- **Fase 2 o fase de laboratorio:** Esta fase, contempla la construcción del registro arqueológico, cuyo protocolo sintetizamos a continuación, y el estudio de materiales arqueológicos recuperados. La compleción de este registro permite su explotación e interpretación. Los trabajos llevados a cabo en este sentido son:
 - Actualización y revisión de la base de datos.
 - Clasificación e inventario de los materiales recuperados.
 - Dibujo, fotografía y documentación de dichos materiales a fin de llevar a cabo un estudio arqueológico que permita definir con precisión las analíticas que deben realizarse y en base a qué materiales dichas analíticas pueden ser más efectivas y menos intrusivas.

- Análisis de laboratorio de las muestras de sedimento y materiales arqueológicos, en función del presupuesto disponible.
- Fase 3 o fase de interpretación de resultados: Esta última fase requiere de un proceso de abstracción a fin de poner en común las evidencias arqueológicas recogidas en la fase 1, en función del estudio de la bibliografía y documentación complementaria y de los resultados obtenidos a partir del estudio de materiales.

EL PROTOCOLO DE REGISTRO Y LA BASE DE DATOS:

El proceso de estudio y documentación de la secuencia de ocupación del Despoblado de Revenga se ha llevado a cabo mediante la aplicación de la metodología arqueológica basada en el concepto de Unidad Estratigráfica, aplicada tanto a las estructuras y los elementos visibles como a la intervención en el subsuelo. La arqueología define como Unidad Estratigráfica (UE) *cualquier elemento tangible o intangible que permita la identificación de una acción o un hecho que, a la vez, sea susceptible de ser puesto en relación física y temporal con el resto de elementos que lo rodean* (Harris 1979). En este sentido hemos hecho un esfuerzo especial en la identificación de estas UE, tanto positivas como negativas, ya sea durante la fase de campo o en el estudio detallado de las plantas acotadas y fotografías durante las fases siguientes.

Durante los trabajos de campo, la identificación y numeración de dichas unidades, positivas o negativas, sigue una numeración no necesariamente correlativa formada por un número de cinco cifras, en donde las decenas y unidades de mil, indican el sector de intervención y las centenas, decenas y unidades, identifican cada uno de los niveles recuperados.

Durante la fase de laboratorio, el estudio detallado de la topografía y las fotografías aéreas realizadas durante los trabajos de campo han permitido detectar la existencia de estructuras de ocupación, marcadas por la presencia de fondos rehundidos o realizados que, junto con la estratigrafía a ellos asociada permiten identificar unidades domésticas o productivas distintas. Las huellas de estas estructuras sobre la roca, han sido documentadas como unidades estratigráficas negativas con una numeración propia del tipo EFR-C000 o EFR-R000, en donde EFR constituye la identificación de estas unidades negativas como estructuras de fondo rehundido o realizado y la mayúscula R o C delante de la numeración precisa el tipo de planta (rectangular o circular).

En todos los casos, cada una de las unidades estratigráficas identificadas ha sido documentada a partir de un dibujo en planta acotada. Diariamente se procedió a la documentación fotográfica durante la fase de campo al inicio y al final de cada jornada de trabajo, por lo que la mayoría de unidades han sido fotografiadas en su contexto arqueológico inmediato. Los materiales arqueológicos han sido sistemáticamente recuperados para cada UE, así como las muestras geológicas de sedimento y materiales geológicos singulares para cada uno de los niveles mayores para su estudio posterior.

Toda esta información ha sido integrada mediante el programa *Filemaker Pro 9.0* en una base de datos que contempla la Unidad Estratigráfica como elemento articulador de la información (*fig. 2*). Los datos relativos a cada una de las UE (identificación, definición,

secuencia estratigráfica, componentes, descripción, interpretación y datación) han sido recogidos en una ficha de campo en soporte papel (*fig. 3*) y trasladada a la ficha matriz. Desde esta ficha matriz de la UE, son accesibles y consultables la planimetría y la documentación fotográfica. El resultado final de la integración de esta información es exportable a modo de informe mediante una plantilla de impresión que recoge los rasgos principales de la ficha de UE y permite además la visualización de la planta acotada.

En el caso de las unidades del tipo EFR, la planta se acompaña de una imagen compuesta por una o varias fotografías ya sean terrestres o aéreas con indicación de la zona sobre la que se identifica la estructura.

Fig. 2: Vista en pantalla de la ficha-matriz de Unidad Estratigráfica, donde puede verse en las pestañas superiores, el acceso a la documentación gráfica de cada unidad, así como la relación de materiales recuperados.

La planimetría completa de la excavación ha sido realizada mediante una estación total ZEISS 3305DR 603618A sobre una base de coordenadas local y procesada mediante software MapInfo Professional en sus versiones 8.0 y 10.0 (*fig. 4*). Las secciones han sido realizadas de forma manual a partir de la nube de puntos generada durante los trabajos de campo, procesada e interpretada a partir de las plantas acotadas de cada UE y procesadas digitalmente mediante el software Corel DRAW en sus versiones 4x y 6x. Dicho programa ha sido también el empleado para los dibujos de material arqueológico y para la compaginación de figuras y gráficos.

2.4. Resultados

El proceso de estudio, análisis e interpretación de los restos documentados es una tarea compleja que requiere de un ejercicio de profundización que deberá verse necesariamente complementado con la realización de una exploración arqueométrica de los materiales recuperados a fin de poder precisar por un lado, la cronología del poblamiento con una exactitud mayor que la que ofrece el simple análisis visual y estratigráfico del lugar y, por otro, las características de la explotación del territorio, procesos constructivos y utilización de materias primas. A la espera de estos trabajos, los resultados de la intervención realizada en 2015 han sido reveladores en la medida en que permiten:

- ✚ Definir con claridad un espacio de hábitat y determinar la estructura de las unidades principales.
- ✚ Establecer una cronología para dicha ocupación que puede remontarse hasta los siglos IV-V d.C., a juzgar por los materiales recuperados asociados a los niveles de uso.
- ✚ Determinar la secuencia de ocupación relativa, objeto de un intenso proceso de utilización-amortización-reutilización sucesivo en distintas fases.

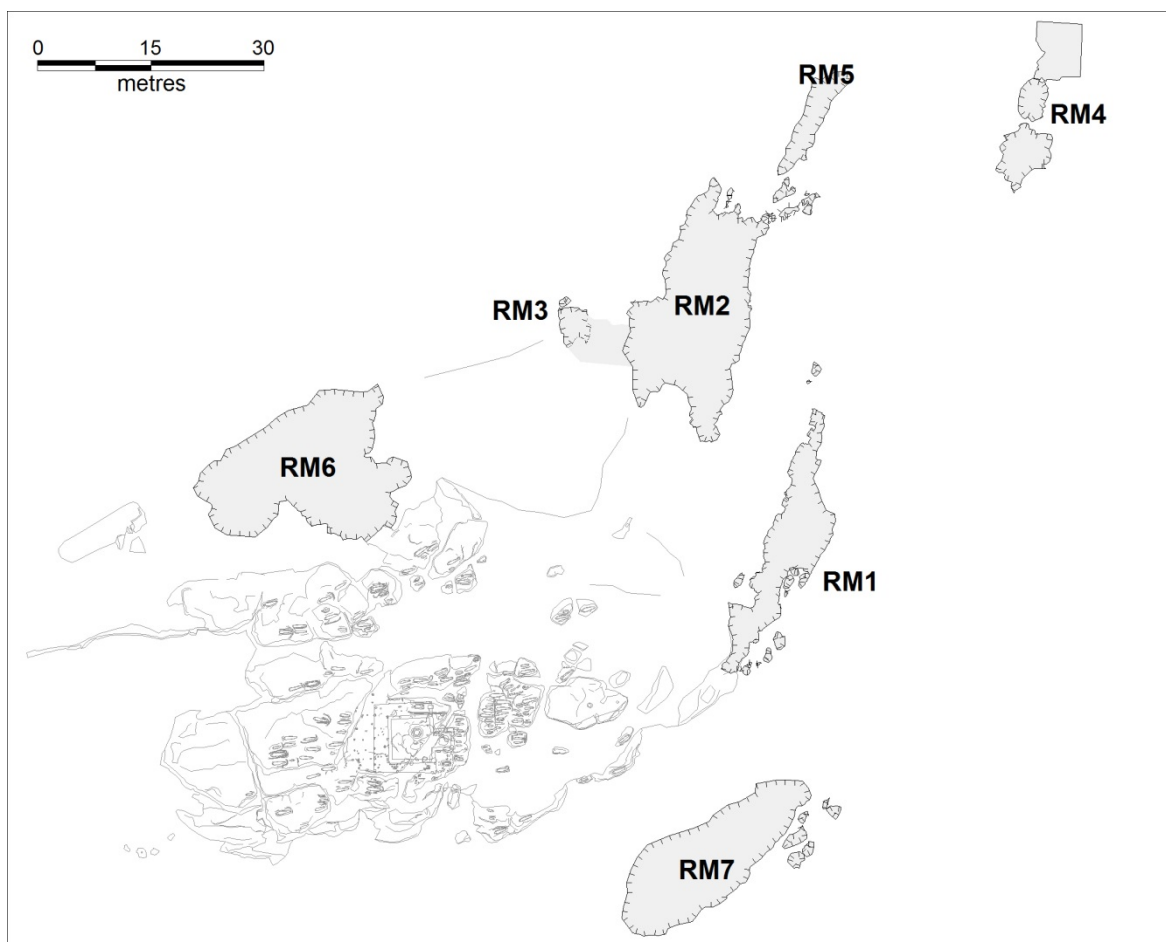


Fig. 5: Planta general del yacimiento con las principales floraciones rocosas delimitadas (RM1 – RM7).

Los trabajos se han concentrado en distintas áreas de intervención, en las que se han llevado a cabo distintas actividades intrusivas y no intrusivas en función de las propias necesidades de la investigación. Tal como reza el método de aproximación en extensión propuesto, la delimitación de grandes unidades de suelo rocoso que afloran en superficie (*fig. 5*) supone un punto de inicio a partir del cual extender la superficie de suelo rocoso visible, identificando para ello los distintos niveles de sedimento que lo cubren.

Los trabajos intrusivos, es decir, de movimiento de tierras, se han concentrado en las floraciones rocosas denominadas RM1, RM2, RM3 –detectadas ya en la intervención de 2014– y RM4, identificada esta última en 2015. Las floraciones RM5, RM6 y RM7 no han sido excavadas, pero en ellas se han llevado a cabo prospecciones en superficie, así como su alzado topográfico (*Anejo 1 – Planta 11*). Finalmente, cabe mencionar un último suelo rocoso (RM8) detectado a partir de fotografía aérea durante la fase de laboratorio que no ha sido intervenido sobre el terreno.

La intervención de 2015 se ha centrado en las nuevas floraciones de suelo rocoso detectadas y en la continuación de los espacios identificados en 2014.

Así, las actividades realizadas y zonas intervenidas han sido las siguientes:

RM1 – Se ha completado la excavación de los niveles más antiguos de ocupación, ya iniciada en 2014.

RM2/RM3 –

Durante la campaña de 2014, la intervención sobre RM2 se limitó a la excavación de un hogar (UE 10101, 10102) y la identificación de algunos encajes a partir de la documentación topográfica del sector. La cubierta vegetal separaba este espacio de la floración RM3, inicialmente identificada como sector 12000 y detectada en 2014 a partir de un bloque de roca arenisca con cinco encajes peculiares sobre su superficie y una pequeña zona de roca viva a los pies de dicho bloque.

En 2015, los trabajos de excavación se han centrado en esta zona y se ha procedido a documentar y delimitar los principales niveles de amortización. La excavación de dichos niveles ha revelado la existencia de numerosos espacios con estructuras muy arrasadas, y un aprovechamiento sistemático de los encajes naturales del suelo rocoso, habitualmente transformados y adaptados a las necesidades del poblamiento.

Asimismo, la ampliación progresiva del sector y la extensión de la superficie intervenida ha permitido unificar las floraciones RM2 y RM3 y agotar la excavación en toda esta zona. Han quedado delimitados también, los niveles de ocupación sobre RM3.

RM4 – Los trabajos de delimitación topográfica de esta superficie rocosa, que fueron seguidos de una limpieza superficial de la misma, revelaron la presencia de un potente derrumbe y una estratigrafía compleja que nos llevó a realizar un sondeo en profundidad en este sector, delimitado por una cata rectangular de 45 m² de superficie que ha comportado la excavación y movimiento de unos 30 m³ de sedimento. Este sondeo ha sido identificado como sector 11000.

RM5 – Al norte de RM2, la floración rocosa se extiende formando una lengua visible en superficie. No ha habido movimiento de tierras en este sector norte durante la campaña de 2015. La intervención se ha restringido a su delimitación en planta.

RM6 – Uno de los objetivos del proyecto de investigación, tal como se planteó inicialmente era “5.-Examinar un sector, no excavado, de la necrópolis de Revenga, con la finalidad de probar la continuidad y perduración del lugar de enterramiento, como parecen insinuar las fuentes documentales.”. A fin de dar respuesta a estos interrogantes se llevó a cabo un sondeo de prospección en la zona norte inmediatamente contigua a la necrópolis conocida.

RM7 – El estudio de este espacio delimitado entre RM6 y la necrópolis nos llevó a explorar las características de las principales floraciones rocosas al sur de la necrópolis, en una extensa campiña que se abre al sur de la vía de acceso al yacimiento. En esta zona se documentó una floración de arenisca de características similares a RM6 (gran altura de la floración y desnivel de unos 2 m, propicios para la ubicación de estructuras semirupestres adosadas a la pared de arenisca) que fue identificada como RM7 y documentada en planta.

También durante esta intervención se ha realizado una prospección visual no intrusiva en la explanada de campiña que se extiende al suroeste del yacimiento, en dirección hacia la pista forestal que conduce al yacimiento contiguo de La Cerca. En esta explanada, cuyos límites han sido topografiados, se advierten pequeñas floraciones rocosas y desniveles en el terreno que han sido debidamente documentados mediante fotografía a fin de detectar posibles unidades de poblamiento y proyectar las intervenciones futuras con un conocimiento mayor del terreno.

*Los resultados que presentamos a continuación están estructurados en función del tipo de intervención realizada – **(a) prospección o (b) excavación**– y del espacio intervenido. Finalmente, dedicamos un apartado **(c) al estudio e interpretación de los materiales arqueológicos recuperados:***

A. RESULTADOS DE LOS TRABAJOS DE PROSPECCIÓN EN SUPERFICIE

Prospección sobre RM6

Mediante esta prospección en superficie, se realizó una limpieza no intrusiva de la floración rocosa RM6 y se topografiaron sus límites así como los numerosos encajes de la zona, completando así la planta inicial realizada a cargo de J. I. Padilla en 1995 – 1997. A partir de la observación detallada de la zona y de su estudio en planta, parece advertirse la existencia de una estructura de planta cuadrada, representativa de un hábitat semirupestre (o tal vez un lugar de culto primitivo) a partir de los desniveles de la roca madre que en este sector pueden alcanzar los 2 metros.

El detalle de una secuencia de pequeños encajes rectangulares correlativos a modo de peldaños, recortados en una diferencia media de cota de unos 20 cm, permiten interpretar la existencia de una posible escalera que salvaría el nivel existente entre el suelo y la superficie del montículo rocoso (*fig. 6*). En las paredes laterales del sector, se observan también múltiples encajes y recortes que deberán ser objeto de una documentación minuciosa en intervenciones futuras.

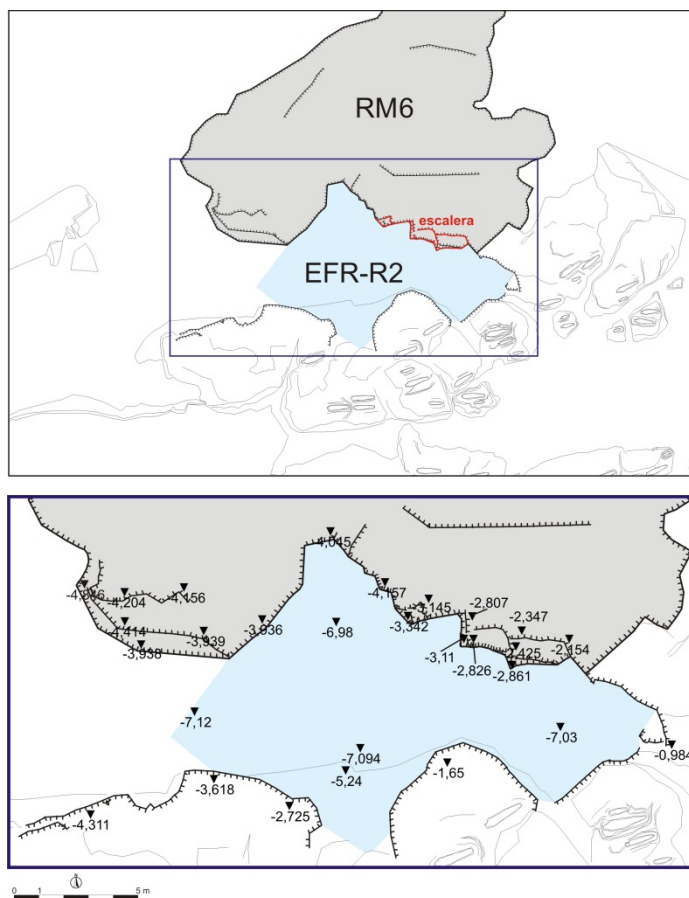


Fig. 6: Planta de detalle de la floración RM6 y del posible espacio de ocupación identificado como EFR-R002.

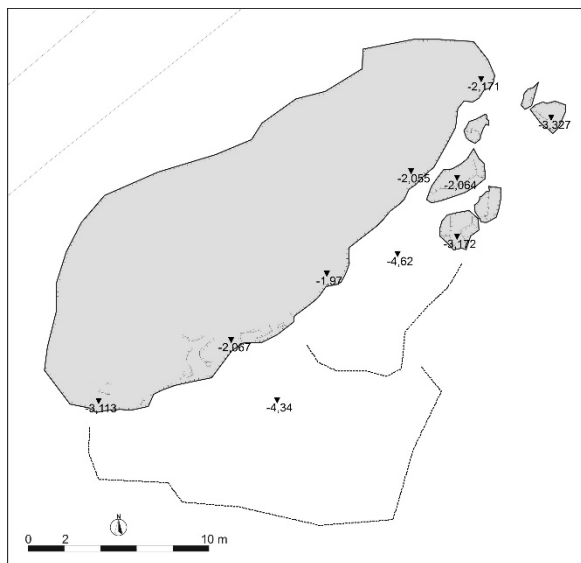
En este espacio también se intuye la presencia de algunas tumbas, con seguridad saqueadas a juzgar por la vegetación que crece en ellas que permitirían apuntar la hipótesis de que tal vez la necrópolis no esté agotada en su totalidad, al menos en lo que a detección de sepulturas se refiere, independientemente de que puedan contener o no individuos, y que puede extenderse aún algunos metros más al norte del área conocida.

La observación de estas características del terreno, que parece presentar una potencia estratigráfica relativa y que por razones de tiempo no era posible intervenir en 2015, nos llevó a prospectar otra área de características parecidas, es decir, con un gran desnivel entre la floración rocosa y el manto vegetal, susceptible de haber sido utilizado como abrigo. Nos referimos a la floración RM7, situada al sur-este del montículo rocoso que acoge la necrópolis.

Prospección sobre RM7

Las características de la floración definida como RM7 vienen definidas por la existencia de un gran bloque de arenisca de rasgos similares a RM6 (gran altura de la floración y desnivel de unos 2 m, propicios para la ubicación de estructuras semiruprestres adosadas a la pared de arenisca) que ha sido documentada en planta e identificada como un espacio adecuado para el establecimiento de alguna estructura de hábitat. La parte superior de la floración presenta numerosos encajes, regueros y pequeñas canalizaciones que permiten establecer algún tipo de relación –por ahora indeterminado– entre la parte

superior de la roca y la explanada que se abre en la cota inferior, cubierta por el manto vegetal (*fig. 7*).



Una futura excavación de este espacio permitirá identificar –si la hubiere– la presencia de una o varias estructuras de fondo rehundido en relación con la pared rocosa. Por ahora, las tenues trazas de ocupación en este sector, en donde se ha recuperado un único fragmento de cerámica oxidante tardoantigua no permiten llevar más allá la interpretación acerca de los procesos de ocupación de la zona.

Fig. 7: Planta de detalle de la floración RM7 y del posible espacio de ocupación prospectado.

Este espacio, sin embargo, no parece desvinculado de toda la extensión de terreno que se abre al sur de la necrópolis hasta llegar a un pequeño riachuelo que delimita el espacio en el sector más meridional del yacimiento. Esta extensión de campiña, que convenimos en denominar Campiña Sur para poder referenciarla, presenta numerosas evidencias susceptibles de ser interpretadas como área de potencialidad arqueológica.

Prospección sobre la Campiña Sur

También durante esta intervención se ha realizado una prospección visual no intrusiva en esta explanada de campiña que se extiende al suroeste del yacimiento, en dirección hacia la pista forestal que conduce al yacimiento contiguo de La Cerca. En esta explanada, cuyos límites han sido topografiados, y que comprende aproximadamente algo menos de una hectárea, se advierten pequeñas floraciones rocosas y desniveles en el terreno que han sido debidamente documentados mediante fotografía a fin de detectar posibles unidades de poblamiento y proyectar las intervenciones futuras con un conocimiento mayor del terreno.

Cabe destacar de esta zona, el progresivo desnivel del terreno, que presenta una estructura de pequeñas terrazas delimitadas por floraciones rocosas muy reducidas, en una disposición más o menos regular, que recuerda a grandes rasgos una planta hipodámica. Esta pequeña ordenación de un terreno de dimensiones reducidas, articulado a partir del riachuelo y la necrópolis, presenta grandes similitudes con los indicios detectados en la zona de las floraciones RM1, RM2 y RM3 que nos movieron a iniciar las excavaciones en aquel sector, por lo que puede ser interpretada en clave arqueológica (*fig. 8*). Sólo una intervención intrusiva de este espacio, realizada necesariamente en distintas campañas, podrá esclarecer los múltiples interrogantes sobre la zona y complementar la visión parcial que aún hoy tenemos, tras dos intervenciones de excavación en el área superior anexa a la necrópolis.



Fig. 8: Vistas de la Campiña Sur, en donde pueden observarse el desnivel del terreno, con una estructura de pequeñas terrazas regulares delimitadas por pequeños afloramientos de arenisca.

B. RESULTADOS DE LOS TRABAJOS DE EXCAVACIÓN: ESTRUCTURAS, NIVELES DE OCUPACIÓN, HÁBITAT Y PRODUCCIÓN

Los trabajos de excavación, han permitido definir un amplio espacio cercano a la necrópolis en donde se superpone una secuencia compleja de fases de ocupación y reutilización del terreno y en donde pueden identificarse determinados espacios destinados a la producción y el hábitat, cuya datación de inicio podíamos remontar hasta el siglo VII d. C. a partir de la mera observación de campo. Con posterioridad, el estudio detallado –morfológico y macroscópico– de los materiales recuperados así como la investigación acerca de sus posibles paralelos, nos permiten retardar esta cronología hasta los siglos IV-V como hipótesis de trabajo y aventurar la idea de un poblamiento continuado en esta zona, que arraiga en la tradición prerromana y que sobrevive a lo largo de los siglos, de manera más o menos autárquica, en un espacio periférico de montaña que es ocupado, explotado y habitado de forma más o menos autónoma, basado en una economía de supervivencia. Esta hipótesis, que cada vez cobra más fuerza, se sustenta en la naturaleza de los restos recuperados tras los trabajos de excavación.

Es necesario recordar que el estudio del poblamiento en las fases altomedievales no queda exento de numerosos problemas de interpretación y que se enmarca en un debate historiográfico profundo alrededor de los orígenes de la red aldeana en los espacios de montaña. Los principales elementos de discusión se centran en la revisión de las propuestas cronológicas y de articulación de los núcleos de población, términos que suscitan controversia entre dos interpretaciones distintas surgidas a raíz del tipo de fuentes empleadas: las fuentes escritas o los restos arqueológicos (Zadora-Río 1995, Quirós 2007). En la identificación de la aldea como elemento directamente vinculado con

la feudalización de los distintos territorios peninsulares y su datación a partir del momento en que tenemos referencias escritas, en un proceso que sigue las tesis de R. Fossier (1984, 1985, 1996), la ocupación previa del territorio y la posible pervivencia de estructuras de ocupación antiguas queda enmascarada por la invisibilidad de éstas en el registro documental.

Los trabajos posteriores, que se aproximan a esta problemática desde una base arqueológica apuntan hacia un fenómeno mucho más complejo que se habría iniciado en un periodo anterior y que no supone a priori una ruptura entre los sistemas de poblamiento antiguos y los medievales (Álvaro 2012, Quirós 2007, García-Camino, 2002). Las dificultades radican en el conocimiento parcial y fragmentario de estos restos y en la necesidad de desarrollar una “*arqueología de las aldeas*” equivalente a la “*archéologie du vilage*” Europea.

No obstante, desde todos los ámbitos de estudio, tanto documentales como arqueológicos, se apunta hacia esta revisión de las interpretaciones existentes (Mínguez 2004, Vigil-Escalera y Quirós 2012). En este sentido, nuestro trabajo se enmarca en las últimas tendencias interpretativas, plantea una revisión de las cronologías tradicionalmente asumidas y supone una contribución interesante a este mundo poco conocido de las estructuras de hábitat altomedievales, que conocemos únicamente a partir de sus huellas, es decir de los restos negativos que dejan sobre el terreno en forma de plantas cuadradas, ovaladas o circulares talladas sobre la roca o asentamientos de estructura, ya sean rehundidos (Tejerizo 2014) o realizados.

Excavación de los niveles inferiores sobre RM1

Los trabajos en esta zona han tenido como objetivo fundamental agotar el sector definido como **H1** (*fig. 9*) en la campaña de 2014 a fin de delimitar por completo la planta de una posible estructura de habitación detectada en 2014 a partir de las unidades UE 10127 y 10153. Esto ha permitido identificar la planta de una estructura de fondo rehundido. En efecto, en la zona sudoeste de la floración de arenisca RM1 se dibuja un recorte sobre la roca en ángulo recto (UE 10153) sobre el cual se adosan los niveles de mayor potencia estratigráfica del sector, que no fueron agotados en 2014 y cuya excavación durante esta última campaña ha revelado la existencia de una fase más antigua.

Así, al excavar las últimas unidades de uso de este sector, interpretado como un espacio de producción (UE 10152, 10157 y 10165) se advierte un recorte, remoción o rebaje del terreno que dibuja una estructura de planta circular (UE EFR-C001) que posteriormente habría sido amortizada, ampliada y reutilizada trabajando nuevamente el suelo rocoso de los alrededores y ubicando un espacio de producción descrito en detalle en la memoria correspondiente a la intervención de 2014 (López, 2014).

Este espacio de producción quedaba definido en base a la presencia de unidades coetáneas de pequeña entidad que parecen acumulaciones de materiales de distinto tipo: un amontonamiento de arenilla blanquecina (UE 10155), una posible lechada de argamasa de textura granulosa (UE 10156), una capa de arcilla muy oscura, que tal vez hubiera constituido la base de un hogar (UE 10157) y una pequeña acumulación de material arenoso con un remarcable componente calcáreo (UE 10171), todo ello

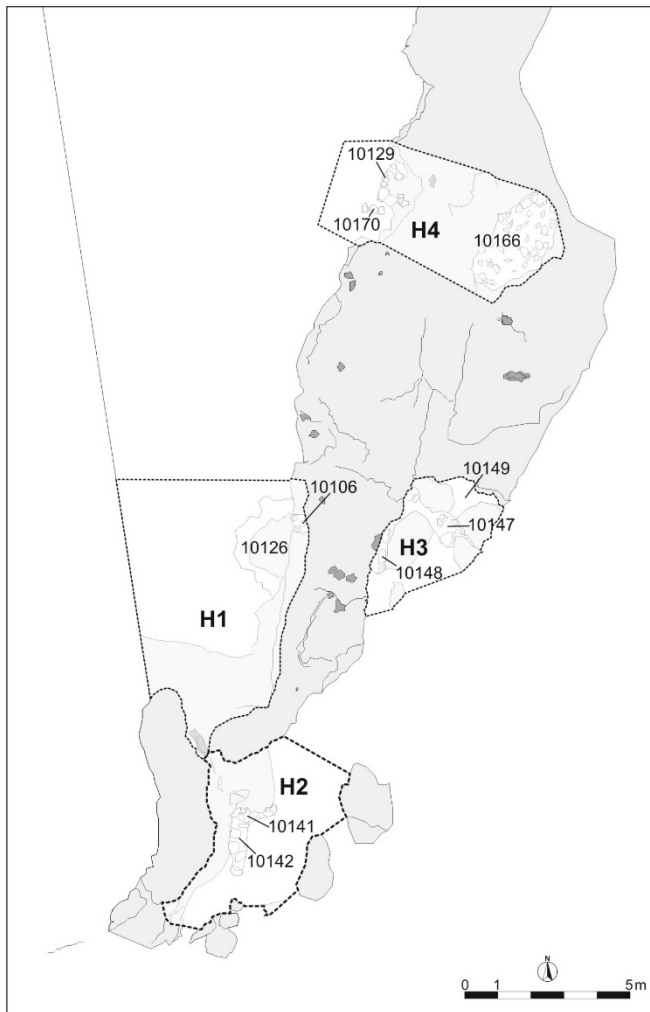


Fig. 9: Planta de la floración de arenisca RM1 con delimitación de los espacios identificados en 2014.

relacionado con una cubeta semicircular (UE 10126) que habría podido albergar una parrilla. Este espacio quedaba cubierto por una pequeña unidad de derrumbe (UE 10145) que correspondería con la destrucción e inutilización de este ámbito de trabajo. En dicho estrato se recuperaron abundantes fragmentos de la roca arenisca en ocasiones tallada, procesada o rubefactada, algo de material cerámico, menas y dos pequeñas plaquitas de hierro.

Todos estos elementos descritos en la memoria anterior (López, 2014) han sido revisados a la luz de los nuevos hallazgos proporcionados por la intervención de 2015 y comparados con el material aparecido en otro de los derrumbes localizados en el yacimiento (UE 10226), que parece colmatar una estructura parecida y que presentamos en detalle en los apartados posteriores.

Relación de Unidades Estratigráficas intervenidas en el sector:

Área	UE	Tipo	Definición
RM1	10100	+ Estrato	Manto vegetal
RM1	10124	+ Estrato	Posible suelo. Nivel anaranjado y arcilloso
RM1	10150	+ Estrato	Posible hogar
RM1	10152	+ Estrato	Nivel blanquecino y arenoso
RM1	10155	+ Estrato	Nivelación de arenilla
RM1	10156	+ Estrato	Capa granulosa, lechada de argamasa (?)
RM1	10157	+ Estrato	Posible hogar
RM1	10165	+ Estrato	Estrato castaño claro

Excavación de un sondeo de potencia estratigráfica sobre RM4

A excepción de aquellos sectores en donde el suelo rocoso presenta desniveles pronunciados y se produce una acumulación mayor de sedimento, la realidad es que la estratigrafía del yacimiento es por lo general bastante pobre. Sin embargo, en el proceso de excavación detectamos ciertos patrones de comportamiento que parecen repetirse en

cada una de las áreas intervenidas y que son interpretables con mayor claridad cuando disponemos de un espacio con suficiente potencia como para observar intactos todos los elementos que componen el yacimiento.

En este sentido, la detección de un espacio con una potencia razonable adosado a RM4 y su excavación ha permitido comprender un proceso de ocupación de la zona que es en buena medida extrapolable a los vestigios recuperados en la explanada comprendida entre las formaciones RM2 y RM3. Sobre esta floración de arenisca hemos definido una cata rectangular de 45 m² de superficie que ha comportado la excavación y movimiento de unos 30 m³ de sedimento. Esta cata ha sido identificada como sector 11000 y se han detectado 28 unidades estratigráficas numeradas a partir de 11101.

En este espacio, hemos podido recuperar la esquina –bastante arrasada– de una estructura cuadrangular delimitada a partir de dos muros perpendiculares (UE 11104 y 11117) de piedras con mampostería irregular que se superponen a niveles de uso anteriores a los mismos y que aprovechan los recortes naturales o antrópicos del suelo (*Anejo 1 – Planta 12*). Así, bajo el escaso manto vegetal y prácticamente visible en el momento inicial de la excavación, hallamos un derrumbe (UE 11102) formado por piedras irregulares, de considerable potencia y con material cerámico y teja relativamente abundante que parece corresponder con la última fase de destrucción del espacio y de arrasamiento de los muros de la estructura de hábitat. El conjunto aparece igualmente amortizado por los niveles de abandono superiores (UE 11101 y 11105), que igualan el terreno y sellan las unidades más antiguas, que han llegado a nosotros inalteradas (*Anejo 1 – Planta 13*). Durante la fase de excavación pudimos percibir una escasa correspondencia entre la secuencia estratigráfica al este y al oeste respectivamente del murete UE 11104. Esta disonancia ha sido interpretada posteriormente gracias a la observación de la sección transversal S5 del sector (*fig. 10*) (*Anejo 1 – Secciones*) como una reutilización del sector.

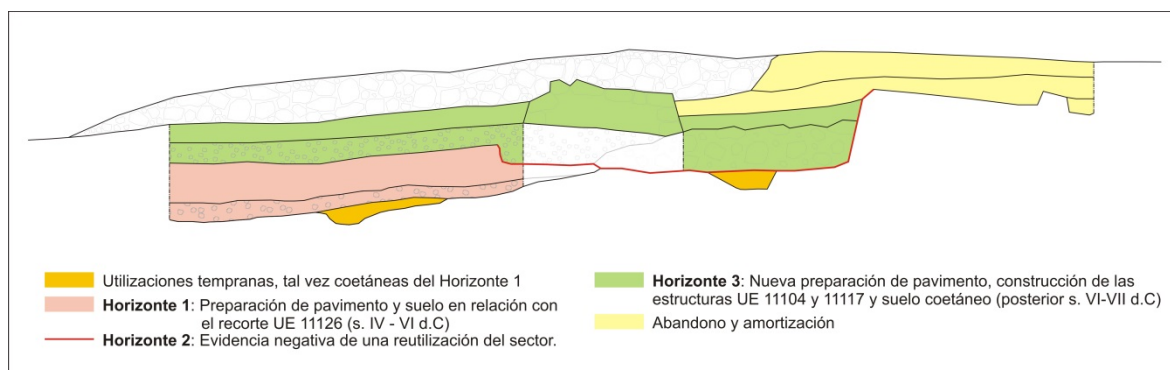


Fig. 10: Sección transversal S5 con indicación de las remociones y reutilizaciones sucesivas del espacio ocupado.

De este modo, podemos detectar en un espacio relativamente reducido tres fases de ocupación:

- **Horizonte 1:** La ocupación más antigua del espacio corresponde con los rellenos grisáceos y cenicientos de pequeñas cubetas recortadas sobre el suelo rocoso, que habrían constituido una utilización temprana del sector. Sobre estos niveles aparece un primer suelo de uso con una estructura típica que se repite de forma similar –aunque

mucho más fragmentada— en otras áreas de la excavación. Se trata de una capa muy rica en pequeños cantos rodados que se asientan sobre la roca (UE 11123), previamente repiqueteada a punzón para facilitar un mejor encaje y asentamiento. Sobre esta preparación, se dispone directamente una capa de arcilla muy lavada que constituye un pavimento de tierra batida (11121). Sólo en fases posteriores entre la preparación de cantos y la tierra batida se extiende una segunda capa de preparación más fina, formada por arena y argamasa; esta práctica no se detecta en las fases más antiguas como la que nos ocupa (*Anejo 1 – Planta 15*). Tal vez en relación con esta ocupación antigua podamos interpretar la enigmática inscultura pisciforme (UE 11128) hallada en la superficie de RM4, una vez retirada la cubierta de amortización del sector (UE 11105) (*fig. 11*).



Fig. 11: Detalles de localización y fotografía de la inscultura pisciforme (UE 11128) hallada sobre RM4.

- **Horizonte 2:** Este pavimento tan rudimentario, aparece cortado en este sector por unos recortes (UE 11129 y 11120) más o menos paralelos a los muros que inicialmente fueron interpretados como zanjas de cimentación de los mismos. Esta interpretación era problemática desde el inicio porque dichos muros no se asentaban directamente sobre el suelo del recorte. La observación de la sección transversal S5 permite comprobar como el recorte UE 11119 corresponde con la talla UE 11126, que afecta el suelo de arenisca y que habría constituido el encaje de una pequeña estructura totalmente desaparecida. El único vestigio que nos quedaría de esta posible estructura, tal vez de madera sobre una banqueta de piedra es un pequeño derrumbe (UE 11114) en contacto directo con el encaje del suelo rocoso que rellena y nivela el recorte triangular UE 11126 practicado para albergar esta estructura más antigua. El muro UE 11104 se asienta directamente sobre los restos de este derrumbe y los niveles a un lado y otro del mismo parecen tener algo más de relación a partir de esta cota (*fig. 10*) (*Anejo 1 – Secciones*).

- **Horizonte 3:** Ciertamente, hallamos el muro UE 11104 asentado sobre el derrumbe en la zona este, mientras que por el oeste reposa directamente sobre una nueva preparación de pavimento (UE 11118), formada nuevamente por cantos rodados

abundantes. Como era de esperar, esta capa está cubierta a su vez por un nuevo suelo de uso (UE 11116) que se adosa a los muros y parece funcionar en correspondencia con éstos. A su vez, el derrumbe 11114 aparece cubierto por un estrato de color pardo grisáceo (UE11110), con algunos carbones y áreas cenicientas, que rellena la parte superior del recorte triangular (UE 11126) sobre el suelo rocoso (RM4) y parece constituir una última nivelación que acabará convirtiéndose en suelo de uso, probablemente en relación con las estructuras UE 11104 y 11117. Un rasgo fundamental de este nivel es la ausencia de materiales cerámicos y la presencia de carbonillos y un fragmento de mena, que nos permiten relacionarlo con una zona de combustión y tal vez de producción. Por el contrario, los escasos materiales cerámicos recuperados en el interior de la estructura (UE 11116) presentan una cronología más tardía que la del suelo anterior (*Anejo 1 – Planta 14*).

Relación de Unidades Estratigráficas intervenidas en el sector:

Área	UE	Tipo	Definición
RM4	11101	+ Estrato	Nivel de abandono
RM4	11102	+ Estrato	Derrumbe
RM4	11103	-- Interficie	Agujero de saqueo
RM4	11104	+ Estructura	Muro
RM4	11105	+ Estrato	Nivel de amortización
RM4	11106	-- Interficie	Alteración postdeposicional del suelo rocoso.
RM4	11107	+ Estrato	Pavimento de cantos
RM4	11108	+ Estrato	Relleno del agujero 11109
RM4	11109	-- Interficie	Recorte constructivo de un agujero de poste
RM4	11110	+ Estrato	Nivel de uso, suelo de nivelación
RM4	11111	+ Estrato	Relleno del agujero 11112
RM4	11112	-- Interficie	Recorte constructivo de un agujero de poste
RM4	11113	+ Estrato	Relleno de una grieta natural
RM4	11114	+ Estrato	Derrumbe
RM4	11115	+ Estrato	Relleno grisáceo
RM4	11116	+ Estrato	Suelo de uso
RM4	11117	+ Estructura	Muro
RM4	11118	+ Estrato	Pavimento de cantos
RM4	11119	-- Interficie	Zanja de cimentación de una estructura antigua
RM4	11120	-- Interficie	Zanja de cimentación de una estructura antigua
RM4	11121	+ Estrato	Suelo de uso con carbones y cerámica
RM4	11122	+ Estrato	Lechada arcillosa sobre UE 11124
RM4	11123	+ Estrato	Nivel constructivo de cantos y piedras
RM4	11124	-- Interficie	Recorte sobre el suelo rocoso
RM4	11125	-- Interficie	Arrasamiento de la estructura UE11104
RM4	11126	-- Interficie	Recorte triangular sobre RM4
RM4	11127	-- Interficie	Arrasamiento de la estructura UE11117
RM4	11128	-- Interficie	Insultura pisciforme

Excavación de niveles de hábitat y producción sobre la explanada RM2-RM3

La secuencia estratigráfica descrita para el sondeo 11000, funciona para el resto de zonas intervenidas, aunque en estos casos, la naturaleza de la misma es mucho más fragmentaria. La explanada amplia que se extiende sobre las floraciones RM2 y RM3 acoge un vasto número de estructuras detectables la mayoría de ellas a partir de la vista aérea del sector en un espacio que comprende alrededor de 450 m².

La estratigrafía que cubre este suelo rocoso tallado, es por regla general escasa y en la mayoría de zonas presenta características similares. Junto con las aportaciones de sedimento para la nivelación y amortización de la zona en aras a su adecuación como espacio de pastos, los niveles inferiores preservados en las zonas claramente relacionadas con el hábitat se conservan pavimentos y suelos de uso siempre muy rudimentarios. Habitualmente están formados por una capa de cantos de río, rodados y de dimensiones menudas depositados sobre la roca, habitualmente preparada a tal efecto mediante un repicado a punzón para garantizar la estabilidad de los cantos. Esta preparación de pavimento suele estar cubierta (aunque no en todos los casos) por una capa de sedimento arenoso, muy compactado, a menudo con polvo de mortero o argamasa, de consistencia dura y compacta que sirve de apoyo a un nivel superior de tierra batida que constituye el suelo de uso propiamente dicho (*Anejo 1 – Plantas 16 y 17*). Esta estructura contrasta con los niveles más antiguos, en donde se omite la capa de argamasa. Un buen ejemplo de esto lo constituye uno de los pavimentos detectados formado por una capa de canto rodado directamente asentada sobre el suelo y cubierta por dos capas finas de arcillas muy lavadas (*fig. 12*). Estos restos, quedan habitualmente restringidos a aquellas zonas en donde el desnivel generado por el recorte de las estructuras presenta una diferencia de cota más pronunciada y permite una acumulación mayor de sedimento.

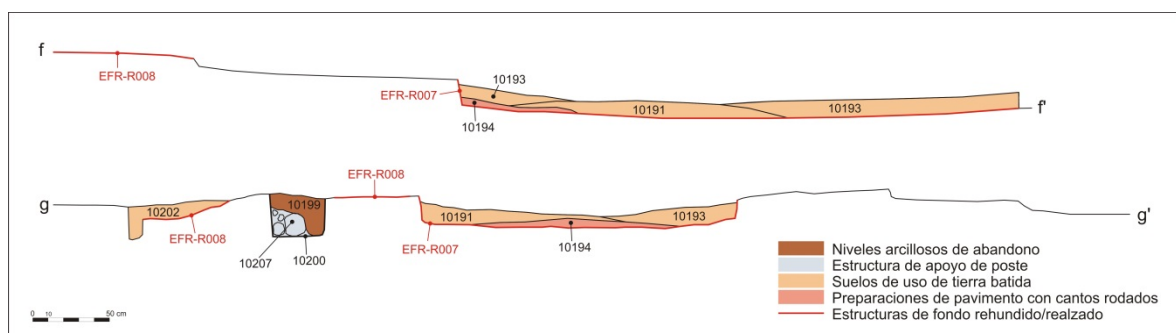


Fig. 12: Detalle de la sección longitudinal de la estructura EFR-R007, que presenta restos de un pavimento antiguo.

Junto con estos niveles, se han recuperado también algunas estructuras de piedra, normalmente muy arrasadas, que podrían interpretarse como bases de pilastra o restos de muro (*Anejo 1 – Planta 18*). Dos de ellas (EFR-C005 y EFR-C010) destacan especialmente por los niveles asociados y los restos de estructura detectados. EFR-C005 queda delimitada por tres pilastras circulares (UE 10223, 10224, 10225) que definen un espacio también circular. En la zona exterior a este espacio se extiende un gran suelo de uso (UE 10221) que parece coetáneo de las mismas, mientras que el interior aparece colmatado por un estrato arcilloso muy extenso que parece amortizar el sector y

constituye un suelo más tardío con materiales bastante mezclados, en donde documentamos algunas cerámicas tardoantiguas, pero también fragmentos de teja y algún fragmento de cerámica con vedrío (*fig. 13*).

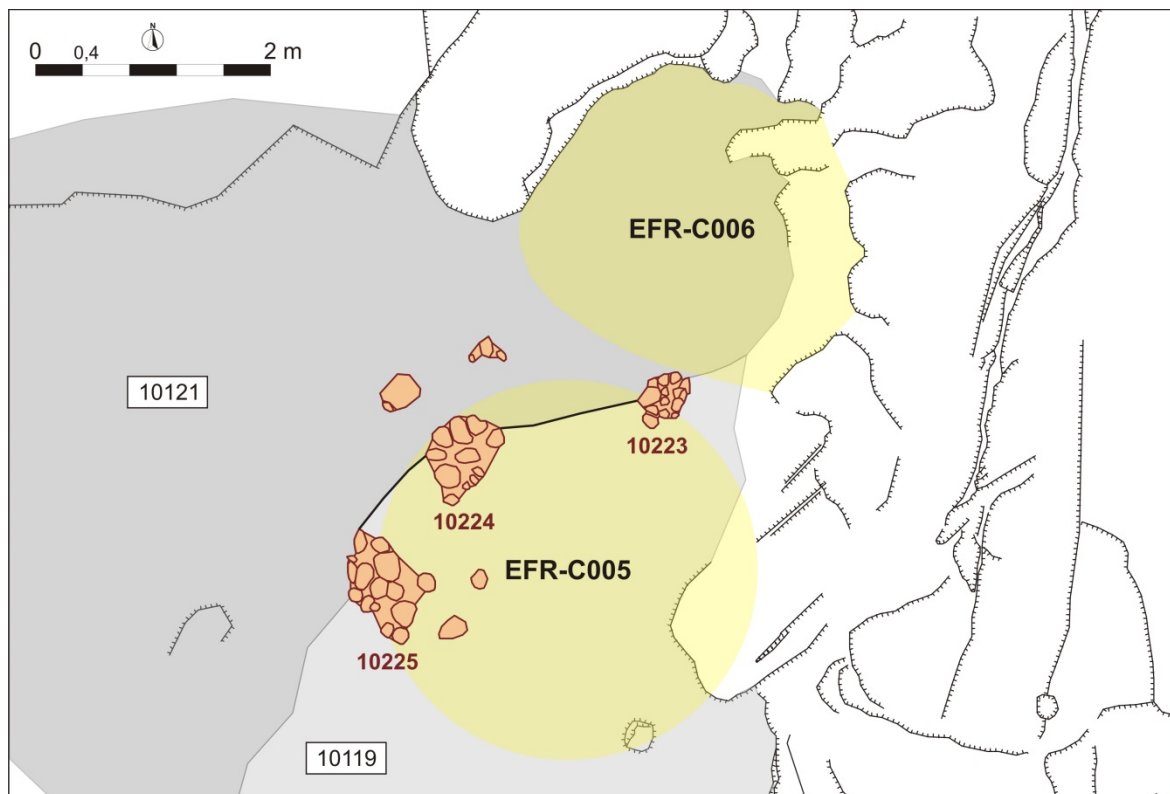


Fig. 13: Detalle de la planta correspondiente a la estructura EFR-C005, delimitada por tres bases de pilastra de piedra y un suelo de utilización en el exterior de la estructura.

Por otro lado, la estructura EFR-C010 aparece en un espacio (*Anejo 1 – Planta 18*) con gran concentración de fragmentos de suelo, definidos por la estructura ya mencionada de cantos sobre roca repicada cubiertos de arcilla fina prensada (UE 10234, 10236, 10248, 10251) (*fig. 14*). A juzgar por estos restos, parece que las estructuras habrían sido levantadas con materiales perecederos, probablemente madera o caña sobre un zócalo corrido de piedra (UE 10249, 10250) en el caso de EFR-C10 o pilastras también de piedra (UE 10223, 10224, 10225) en el caso de EFR-C005 que tal vez hubieran sujetado la cubierta y las paredes vegetales. Este espacio, cuenta también con la presencia de un pequeño derrumbe (UE 10226) formado por piedra y abundante material cerámico que parece en relación con el arrasamiento de dichas estructuras. Un derrumbe parecido (UE 10220) rellena un recorte probablemente natural del suelo y nivela un espacio que parece posteriormente ocupado en relación con una estructura rectangular, algo más tardía (EFR-R006) situada al este del conjunto descrito. La mayoría de estructuras, por el contrario no presentan casi estratigrafía y son identificables a partir de la lectura en vista aérea del suelo rocoso, por lo que les dedicaremos una breves líneas en conjunto en el próximo apartado.

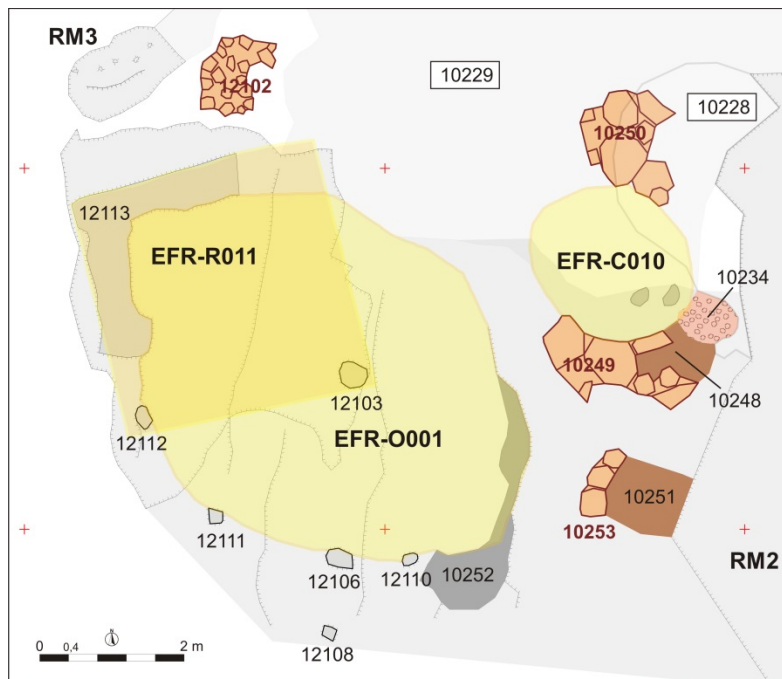


Fig. 14: Detalle de la planta correspondiente a la estructura EFR-C010 y su contexto inmediato, en donde la complejidad estratigráfica del mismo nos permite identificar algunas estructuras anexas.

Finalmente, en relación con la explanada RM2 y RM3, cabe mencionar la existencia de un espacio de combustión-producción de características muy similares al definido para el espacio H1, adosado a RM1. Al este de RM2, bajo un estrato bastante potente de amortización formado por sedimento arenoso (UE 10222), se detectan una serie de pequeños niveles (*Anejo 1 – Planta 19*) arcillosos, muy cenicientos, con trazas de rubefacción y materiales muy escasos que rellenan distintas oquedades de la roca. Una de ellas (UE 10243) es claramente identificable con una cubeta que aparece recortada en un área de fuerte abrasión de la roca (UE 10238).

Relación de Unidades Estratigráficas intervenidas en el sector:

Área	UE	Tipo	Definición
RM1	10100	+ Estrato	Manto vegetal
RM1	10124	+ Estrato	Posible suelo. Nivel anaranjado y arcilloso
RM1	10150	+ Estrato	Posible hogar
RM1	10152	+ Estrato	Nivel blanquecino y arenoso
RM1	10155	+ Estrato	Nivelación de arenilla
RM1	10156	+ Estrato	Capa granulosa, lechada de argamasa
RM1	10157	+ Estrato	Posible hogar
RM1	10165	+ Estrato	Estrato castaño claro
RM2	10191	+ Estrato	Nivel negro / arcilloso (Suelo de uso)
RM2	10192	+ Estrato	Nivel negro / arcilloso (Suelo de uso)
RM2	10193	+ Estrato	Nivel negro / arcilloso (Suelo de uso)
RM2	10194	+ Estrato	Pavimento de cantos
RM2	10195	+ Estrato	Relleno del agujero 10196
RM2	10196	-- Interficie	Recorte constructivo de un agujero de poste
RM2	10197	+ Estrato	Relleno del agujero 10198
RM2	10198	-- Interficie	Recorte constructivo de un agujero de poste
RM2	10199	+ Estrato	Relleno del agujero 10200
RM2	10200	-- Interficie	Recorte constructivo de un agujero de poste

RM2	10201	+	Estrato	Nivel negro / arcilloso (Suelo de uso)
RM2	10202	+	Estrato	Nivel negro / arcilloso (Suelo de uso)
RM2	10203	+	Estrato	Relleno del agujero 10204
RM2	10204	--	Interficie	Recorte constructivo de un agujero de poste
RM2	10205	+	Estrato	Relleno del agujero 10206
RM2	10206	--	Interficie	Recorte constructivo de un agujero de poste
RM2	10207	+	Estructura	Estructura de apoyo de poste
RM2	10208	+	Estrato	Relleno de amortización de un encaje
RM2	10209	+	Estrato	Relleno de amortización de una grieta natural de RM2
RM2	10210	+	Estrato	Hogar
RM2	10211	+	Estrato	Recorte empleado como hogar
RM2	10212	+	Estrato	Relleno del agujero 10213
RM2	10213	--	Interficie	Recorte constructivo de un agujero de poste
RM2	10214	+	Estrato	Suelo de uso arenoso y compacto
RM2	10215	+	Estrato	Pavimento de cantos
RM2	10216	+	Estrato	Suelo de uso arenoso y compacto
RM2	10217	+	Estrato	Nivel negro / arcilloso (Suelo de uso)
RM2	10218	+	Estrato	Suelo de uso arenoso y compacto
RM2	10219	+	Estrato	Nivel negro / arcilloso (Suelo de uso)
RM2	10220	+	Estrato	Pequeño derrumbe o pavimento
RM2	10221	+	Estrato	Suelo de uso arenoso y compacto
RM2	10222	+	Estrato	Suelo de uso arenoso y compacto
RM2	10223	+	Estructura	Posible base de pilastra
RM2	10224	+	Estructura	Posible base de pilastra
RM2	10225	+	Estructura	Posible base de pilastra
RM2	10226	+	Estrato	Derrumbe
RM2	10227	+	Estrato	Nivel de amortización entre RM2 y RM3
RM2	10228	+	Estrato	Nivel negro / arcilloso (Suelo de uso)
RM2	10229	+	Estrato	Suelo de uso arenoso y compacto
RM2	10230	+	Estrato	Relleno del agujero 10231
RM2	10231	--	Interficie	Recorte constructivo de un agujero de poste
RM2	10232	+	Estrato	Relleno del agujero 10233
RM2	10233	--	Interficie	Recorte constructivo de un agujero de poste
RM2	10234	+	Estrato	Pavimento de cantos
RM2	10235	+	Estrato	Bolsada arcillosa
RM2	10236	+	Estrato	Bolsada arcillosa
RM2	10237	+	Estrato	Nivel de uso relacionado con carbones
RM2	10238	--	Interficie	Superficie de abrasión de RM2
RM2	10239	+	Estrato	Relleno del agujero 10240
RM2	10240	--	Interficie	Recorte constructivo de un agujero de poste
RM2	10241	+	Estrato	Relleno de nivelación / amortización
RM2	10242	+	Estrato	Relleno de cubeta
RM2	10243	--	Interficie	Recorte constructivo de una cubeta
RM2	10244	+	Estrato	Nivel de uso, acumulación de limpiezas
RM2	10245	+	Estrato	Nivel de uso, acumulación de limpiezas
RM2	10246	+	Estrato	Relleno del agujero 10247
RM2	10247	+	Estrato	Recorte constructivo de un agujero de poste
RM2	10248	+	Estrato	Preparación de pavimento
RM2	10249	+	Estructura	Estructura semicircular
RM2	10250	+	Estructura	Posible base de pilastra

RM2	10251	+	Estrato	Pavimento de tierra batida
RM2	10252	+	Estrato	Relleno de una grieta natural
RM2	10253	+	Estructura	Estructura formada por tres piedras alineadas
RM2	10254	--	Interficie	Recorte constructivo de un agujero de poste
RM2	10255	+	Estructura	Bloque de arenisca caído
RM2	10256	+	Estructura	Conjunto de piedras caídas
RM2	10257	+	Estructura	Piedra caída
RM2	10258	+	Estructura	Piedra caída
RM2	10259	--	Interficie	Rebaje del suelo rocoso
RM2	10260	--	Interficie	Rebaje del suelo rocoso
RM2	10261	--	Interficie	Arrasamiento de las pilastras
RM2	10262	+	Estructura	Estructura de piedras
RM3	12100	+	Estrato	Manto vegetal
RM3	12101	+	Estrato	Suelo de uso arenoso y compacto
RM3	12102	+	Estructura	Estructura de piedra
RM3	12103	--	Interficie	Recorte constructivo de un agujero de poste
RM3	12104	+	Estrato	Relleno del agujero 12103
RM3	12105	+	Estrato	Relleno del agujero 12106
RM3	12106	--	Interficie	Recorte constructivo de un agujero de poste
RM3	12107	+	Estrato	Relleno del agujero 12108
RM3	12108	--	Interficie	Recorte constructivo de un agujero de poste
RM3	12109	+	Estrato	Relleno del agujero 12110
RM3	12110	--	Interficie	Recorte constructivo de un agujero de poste
RM3	12111	--	Interficie	Recorte constructivo de un agujero de poste
RM3	12112	--	Interficie	Recorte constructivo de un agujero de poste
RM3	12113	--	Interficie	Asiento de estructura

Las huellas del poblamiento y su cronología

A excepción de las estructuras EFR-C006, C010 y R006, que presentan algo de estratigrafía asociada, el resto de estructuras aparecen directamente recortadas sobre la roca y cubiertas total o parcialmente bien por los niveles de amortización o directamente por la cubierta vegetal. Su presencia, sin embargo, es claramente identificable a partir de una lectura atenta de las fotografías aéreas (*Anejo 1 – Estructuras [1], [2] y [3]*). La observación de estas estructuras en planta y en las fotografías de detalle, nos permite advertir una intensa ocupación del sector (*Anejo 1 – Planta 21*) y un reaprovechamiento sistemático de las mismas.

La impresión general que ofrece el conjunto es que la ocupación del sector se produce en dos fases consecutivas. Una primera fase en donde predominan las estructuras de planta circular, de unos 2m de diámetro, y una fase posterior con estructuras de planta cuadrada, de dimensiones superiores, que se superpone y a menudo reutiliza el conjunto anterior. Esta superposición de la fase de planta cuadrada sobre fase de plantas circulares es observable a partir de dos rasgos característicos de la secuencia estratigráfica de los recortes:

- (1) Por un lado, buena parte de las estructuras circulares aparecen parcialmente seccionadas por estructuras cuadradas. Tal es el caso de la secuencia EFR-C007,

C008, C009 que es claramente anterior a EFR-R009, que corta a los tres fondos circulares (*fig. 15*).

- (2) Por otro lado, las estructuras circulares en determinados sectores aparecen a una cota inferior que las rectangulares. Este segundo parámetro es observable en la relación entre EFR-C001 y EFR-R003, en donde la segunda –a una cota superior– corta a la primera –ubicada en un plano más bajo– y a toda la estratigrafía que se le asocia.



Fig. 15: Fotografías de detalle de las estructuras ERF-C007, C008, C009 y R009 en donde puede apreciarse como la estructura cuadrada corta a las circulares.

En todo este contexto, una cuestión que por ahora resulta imposible de responder es la secuencia cronológica entre la necrópolis y las estructuras de hábitat. Si adjudicamos a la fase de plantas circulares una cronología que arranca en el siglo IV d.C. en función de los materiales recuperados en los niveles inferiores y que en breve tendremos ocasión de analizar en detalle, la impresión general e hipótesis de trabajo principal es que tanto la iglesia como la necrópolis son posteriores a esta etapa de poblamiento temprano y probablemente coetáneas a las estructuras de planta cuadrada. La propia iglesia de Revenga ha sido identificada y catalogada como una de estas estructuras (EFR-R001), así como la estructura EFR-R002, correspondiente al área de RM6. De ser correcta esta interpretación, que hasta ahora parece la más verosímil, cabría preguntarse si las estructuras de planta circular respetan el espacio sacro de la necrópolis y, si lo hacen, por qué. Estas cuestiones pendientes sólo podrán ser respondidas en la medida en que los trabajos de excavación prosigan y la intervención sobre RM1 y RM2 se prolongue hacia el este, enlazando con la necrópolis conocida.

En cualquier caso, el panorama descrito cuestiona la cronología tradicionalmente asumida para la necrópolis, que la sitúa en los siglos VIII – IX. Nuestra interpretación general del conjunto sugiere permite sugerir que el poblamiento como tal, es fruto de un profundo arraigo en el territorio y de una continuidad muy prolongada en el tiempo de unos sistemas antiguos de ocupación y explotación del territorio. Nos referimos, pues, a unas comunidades que de manera ininterrumpida y probablemente al margen de injerencias exteriores llevan a cabo una forma de vida autárquica que combina las tareas ganaderas con la explotación del bosque y una agricultura de carácter complementario y de subsistencia. Este poblamiento, vinculado a un proceso de cristianización temprano y en cierto modo marginal terminará organizándose a partir de un espacio sacro cristiano, con fuertes reminiscencias paganas, que podríamos remontar a los siglos VI – VII.

Relación de Unidades Estratigráficas negativas del tipo 'EFR' detectadas a partir del estudio de las fotografías aéreas y la planimetría:

Área	UE	Tipo	Definición
RM1	EFR-C001	-- Interficie	Estructura de planta circular
RM1	EFR-C002	-- Interficie	Estructura de planta circular
RM1	EFR-C003	-- Interficie	Estructura de planta circular
RM1	EFR-C004	-- Interficie	Estructura de planta circular
RM2	EFR-C005	-- Interficie	Estructura de planta circular
RM2	EFR-C006	-- Interficie	Estructura de planta circular
RM2	EFR-C007	-- Interficie	Estructura de planta circular
RM2	EFR-C008	-- Interficie	Estructura de planta circular
RM2	EFR-C009	-- Interficie	Estructura de planta circular
RM2	EFR-C010	-- Interficie	Estructura de planta circular
RM5	EFR-C011	-- Interficie	Estructura de planta circular
RM5	EFR-C012	-- Interficie	Estructura de planta circular
RM4	EFR-C013	-- Interficie	Estructura de planta circular
RM4	EFR-C014	-- Interficie	Estructura de planta circular
RM3	EFR-O001	-- Interficie	Estructura de planta ovalada
Necr	EFR-R001	-- Interficie	Asiento de la iglesia
RM6	EFR-R002	-- Interficie	Estructura de planta rectangular
RM1	EFR-R003	-- Interficie	Estructura de planta rectangular
RM1	EFR-R004	-- Interficie	Estructura de planta rectangular
RM2	EFR-R005	-- Interficie	Estructura de planta rectangular
RM2	EFR-R006	-- Interficie	Estructura de planta rectangular
RM2	EFR-R007	-- Interficie	Estructura de planta rectangular
RM2	EFR-R008	-- Interficie	Estructura de planta rectangular
RM2	EFR-R009	-- Interficie	Estructura de planta rectangular
RM2	EFR-R010	-- Interficie	Estructura de planta rectangular
RM3	EFR-R011	-- Interficie	Estructura de planta rectangular
RM1	EFR-R012	-- Interficie	Estructura de planta rectangular

C. LOS MATERIALES ARQUEOLÓGICOS

Los principales volúmenes recuperados corresponden con una cronología tardoantigua que podría remontarse tal vez hasta el siglo IV d. C., hecho que corrobora la existencia del poblamiento antiguo del que hablábamos en párrafos anteriores. Dicha cronología temprana, a pesar de ser una hipótesis de trabajo permanente en nuestra investigación no ha podido ser presentada y defendida como tal hasta que hemos dispuesto de elementos de análisis suficientes entre los que el material cerámico recuperados, en algunos casos con forma, junto con su contexto estratigráfico y la búsqueda de paralelos cronológicos y formales en la zona ha jugado un papel significativo.

Si nos centramos en los principales conjuntos recuperados debemos hacer constar la presencia de: (1) *Cerámica oxidante tardoantigua*, con una cronología alrededor de los siglos IV – VI, de pastas depuradas, de cocción oxidante y colores rosados, anaranjados y pajizos, (2) *Cerámica oxidante-reductora*, de pastas bizcochadas, probablemente con una cronología comprendida entre los siglos V/VI a VIII/XI; (3) *Cerámica gris altomedieval*, de pastas gruesas y un repertorio formal reducido (c. VII – XI); y (4) la *Cerámica moderna con vidrio*; muy escasa y posterior a los siglos XIV – XV. Además de estos grupos citados, hemos de mencionar algunos fragmentos muy aislados bruñidos, y espatulados, también de cronologías tardoantiguas.

En la mayoría de estos grupos, y de manera especial en los más antiguos, la presencia de algunas formas claramente identificables nos permite afinar algo más la adscripción cronológica de las mismas en relación con las horquillas algo más amplias y tardías ofrecidas hasta ahora, en documentos anteriores (López 2014, 2015).

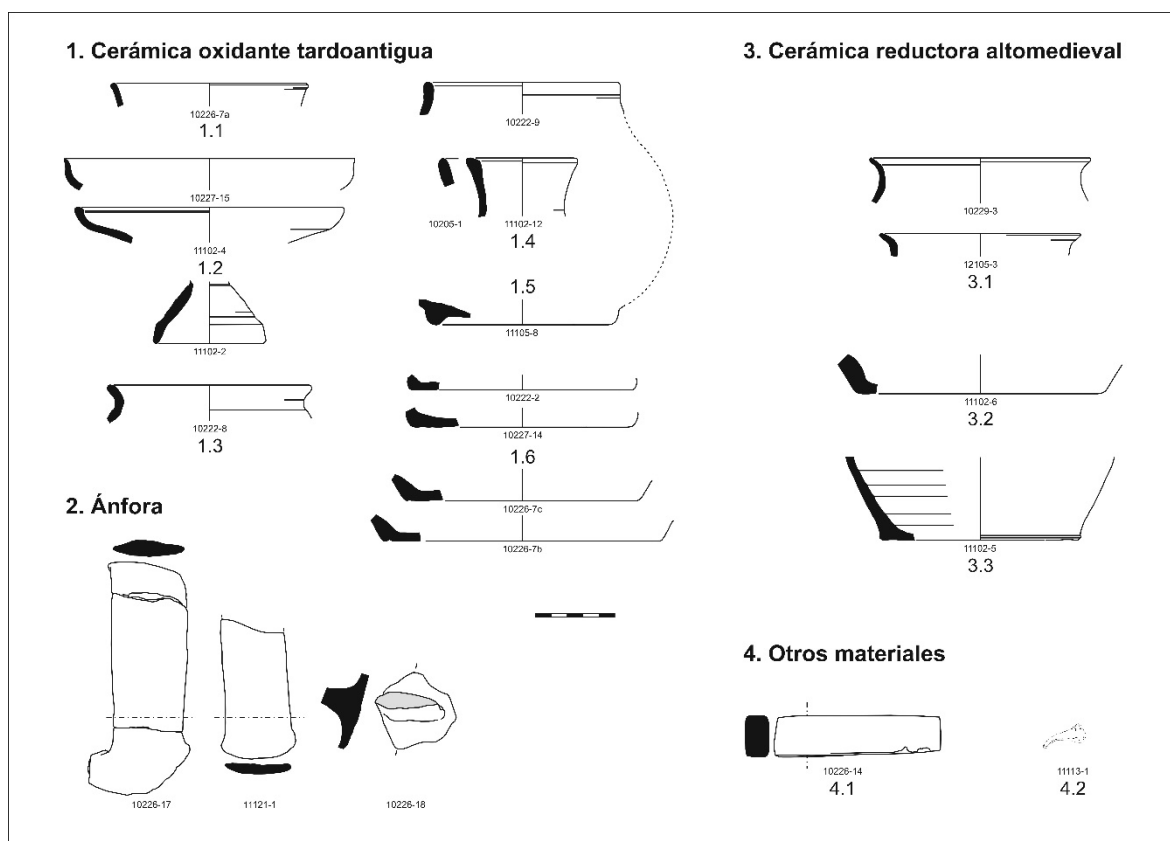


Fig. 16: Ensayo de sistematización de la tipología formal recuperada en el Despoblado de Revenga.

Así, en función de la sistematización propuesta para las cerámicas de Revenga (*fig. 16*) en base a la morfología de los fragmentos recuperados podemos hablar de las formas de los elementos siguientes para cada grupo:

1. Cerámica oxidante tardoantigua: Ciertamente, el ensayo de sistematización de la cerámica tardoantigua realizada por diversos autores para la cuenca del Duero (Larrén et al. 2003) ofrece paralelos para prácticamente la mayoría de formas recuperadas, siendo algunas de ellas características también de un espacio territorial algo más amplio que se extiende hasta la cuenca del Ebro y la meseta sur, en los alrededores de Toledo.

1.1. Cuenco: Una única forma, de paredes relativamente finas y pasta depurada, ha sido recuperada, con paralelos en la cuenca del Duero (Larrén et al. 2003: fig. 3.2 y 3.5).

1.2. Platos y cuencos crateriformes y caliciformes: Estas formas abiertas, generalmente con un pie más o menos elevado arraigan en la tradición indígena celtibérica (Burillo et al. 2009: fig. 1, 3, 4.6, 6, 7.2) y desaparecen por completo en el periodo altomedieval, siendo prácticamente imposible hallar paralelos de estas formas en época más tardía. Algunas de estas formas, con cierta similitud con las recuperadas en Revenga, están en relación con las vajillas de mesa numantinas (Burillo et al. 2009: fig. 7.2).

1.3. Olla: Entre las formas halladas representativas de este periodo tardoantiguo, ya se conoce la forma ‘olla’ siendo esta minoritaria en relación con los otros grupos. Con paralelos en época tardoantigua en la zona (Larrén et al. 2003: fig. 8.3; Hernández & Bienes 2003: fig. 4.7, 4.8 y 4.9), las formas cerradas tienen una perduración mucho mayor en el tiempo y constituirán la forma básica en el periodo medieval. Tradicionalmente de cocción reductora, asociada a las producciones altomedievales, que constituyen un elemento de continuidad respecto de las producciones romanas de cocina, encontramos en Revenga un pequeño ejemplar de tipo oxidante de pasta muy similar a las formas claramente asimilables a este periodo.

1.4. Jarras y redomas: Dos ejemplares de esta forma han sido hallados en el sondeo practicado sobre RM4 y en el sector en extensión abierto en RM2. Dichas formas no son anómalas en el área del Duero (Larrén et al. 2003: fig. 7) y presentan además otros paralelos en la zona (Caballero et al. 2003: fig. 10.B23a). En concreto, Caballero et al. (2003: 246) proponen una descripción para dicha forma recuperada en la Iglesia de Santa María de Melque (Toledo) que destaca por la

“excelente calidad de sus pastas (claras, rosadas, con un acabado jabonoso) y la delgadez de los fragmentos de piezas del tipo 23a (botella de pequeño tamaño, de perfil estilizado). A torno y de cocción oxidante, con una pasta muy depurada y de color rosáceo, con un fondo convexo, presenta un cuello de ascenso vertical con una ligera moldura en su parte medial”.

Nosotros sólo conservamos el borde de la pieza, pero hallamos otro paralelo del mismo en un cuello de jarra prácticamente idéntico aunque de dimensiones ligeramente superiores en un contexto romano del Alto Duero, la villa de la Dehesa (Quintana Redonda, Soria) (Bermejo 2014: 315, fig. 90 – 80/19/519). Caballero et al. presentan a su vez otros paralelos más lejanos de esta forma en la zona de Cáceres (2003: fig. 1.43; 1.45

y 4.23) a las que ocasionalmente atribuyen usos funerarios. No parece ser este el caso de los elementos recuperados en Revenga dado su contexto estratigráfico.

1.5. Orza: Dos fragmentos recuperados en Revenga, uno de borde y otro de pie anular, con seguridad de individuos distintos parecen corresponder con esta forma (Larrén *et al.* 2003: fig. 9.2) para la contención y almacenaje de líquidos y aceites.

1.6. Cazuelas: (Larrén *et al.* 2003: fig. 5; Macías & Cau 2012, fig. 6). Las cazuelas de diámetro relativamente reducido y base plana como las recuperadas durante el proceso de excavación son una de las formas recuperadas con mayor frecuencia.

2. Ánfora: Ha sido posible hallar también tres fragmentos anfóricos, todos ellos correspondientes a asas muy fragmentadas, de pastas similares a las oxidantes tardoantiguas, tal vez algo más gruesas. El alto grado de fragmentación y la escasez de las mismas impiden aportar mayor información o paralelos al respecto.

3. Cerámica reductora altomedieval: El conjunto de cerámicas comunes de cocción reductora constituye el segundo en importancia por detrás de las cerámicas tardoantiguas (*fig. 19*). Las características de este grupo –pastas gruesas, con abundante cuarzo y fragmentos micáceos– son similares al conjunto de cerámicas oxidante-reductoras, del cual no hemos podido hallar ningún fragmento con forma. Ambos tipos de cerámica representan una continuidad de las producciones comunes más antiguas e implican una simplificación del repertorio formal que perdurará durante los siglos medievales, siendo las formas cerradas las mayoritarias.

3.1. Olla: Los dos bordes de olla recuperados, de pastas grises y buena cochura constituyen ejemplos emblemáticos de este tipo de productos y se conocen infinidad de paralelos en todo el tercio norte peninsular (Bohigas y Gutiérrez 1989), el mediodía francés (Bonhoure 1992; Bonhoure and Marchesi 1993; Pelletier and Bérard 1996; Leenhardt *et al.* 1996) y la península itálica (Brogiolo and Gelichi 1986; 1997; Milanese 2007), por lo que no procederemos a mencionarlos todos.

3.2. Cazuela: A pesar del predominio progresivo de las formas cerradas, las cazuelas siguen siendo un elemento presente en los primeros siglos medievales, durante los cuales, conservan aún en buena medida, correspondencias morfológicas con las formas más antiguas (Larrén *et al.* 2003: fig. 5).

3.3. Olla/Jarra: Entre los fragmentos con forma recuperados, debemos mencionar, por último, este fragmento de fondo de un recipiente cerrado y de fondo plano, probablemente una olla, pero tal vez una jarra. El modelado manual sobre una torneta con la que se procede al acabado de la pieza, muy burdo y con la estructura relicta del modelado a colombín claramente visible es habitual en formas antiguas muy arraigadas y presenta numerosos paralelos, por ejemplo en Contrebia (Hernández & Bienes 2003: fig. 10), pero también entre los conjuntos de cerámica romana tardía de cocina de Alfaro (La Rioja) que hemos tenido ocasión de analizar desde nuestro grupo de investigación (*fig. 17*).

Fig. 17: Ollas de cerámica romana tardía de cocina recuperada en Las Eras de San Martín, Alfaro (La Rioja) (Travé 2010: *Informe inédito del estudio de materiales cerámicos de Alfaro* – Lámina 24).

4. Otros materiales: entre los materiales singulares no cerámicos hallados en 2015 debemos destacar la presencia de un fragmento de arenisca tallado, un clavo de hierro y varias menas.

4.1. Fragmento de arenisca tallado: Este constituye un elemento singular recuperado en el derrumbe UE 10226. Los materiales recuperados en este derrumbe son comparables a los del nivel UE 10145 excavado durante 2014. Un poco más adelante tendremos ocasión de volver sobre este tema, pero en ambos contextos aparecen fragmentos de arenisca con evidencias claras de talla. En este caso, la pieza corresponde a un paralelepípedo de 104 x 22 x 12 mm tallado sobre arenisca y pulido. Este enigmático fragmento puede estar en relación con otras muestras de arenisca con muescas, síntomas de talla y encajes, recuperadas durante 2014 en un contexto de producción (*fig. 18*).

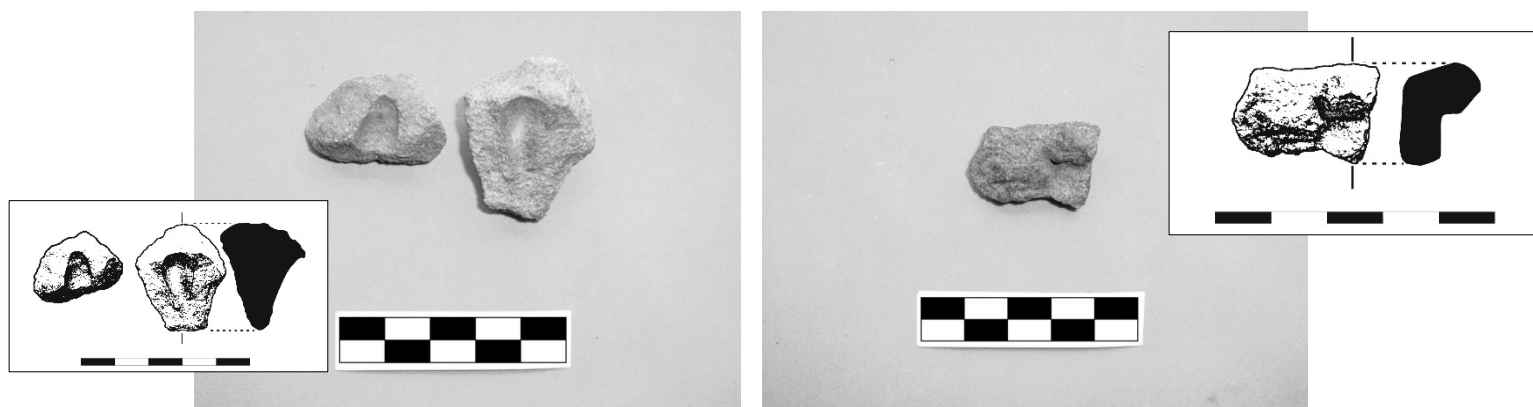


Fig. 18: Fotografía y dibujo de algunos fragmentos de arenisca tallados encontrados en Revenga.

4.2. Clavo de hierro: Los materiales metálicos son muy escasos en todo el yacimiento limitándose a un número muy reducido. Durante la intervención de 2015 sólo se ha recuperado un clavo de hierro en un contexto de amortización tardío.

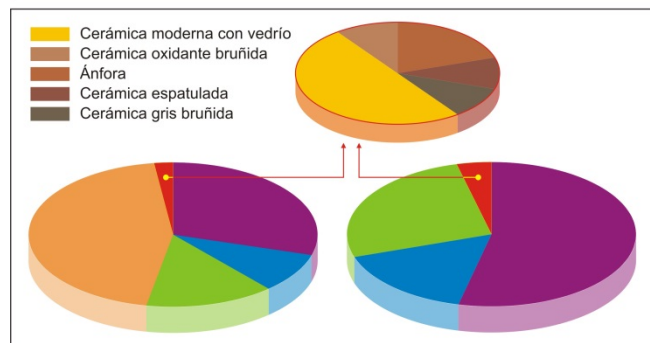
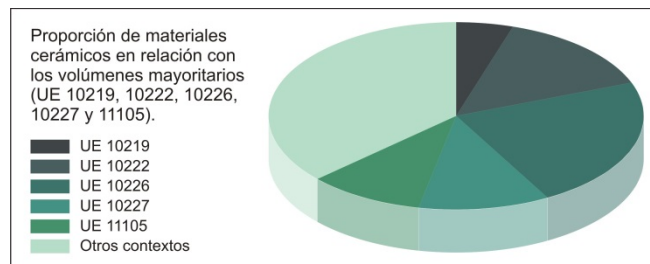
4.3. Menas: Consideración aparte merecen los fragmentos de menas relativamente abundantes en la excavación de los cuales hablaremos en breve a partir de la explotación estadística realizada para los mismos. Cabe destacar que la mayoría de ellos proceden de

contextos de combustión, en niveles de uso muy cenicientos y con abundantes carbones (UE 11110, 11116 son ejemplos bastante representativos de este fenómeno). Es interesante remarcar también la ausencia de material cerámico en estos niveles, a excepción de los derrumbes (UE 10145, 10226).

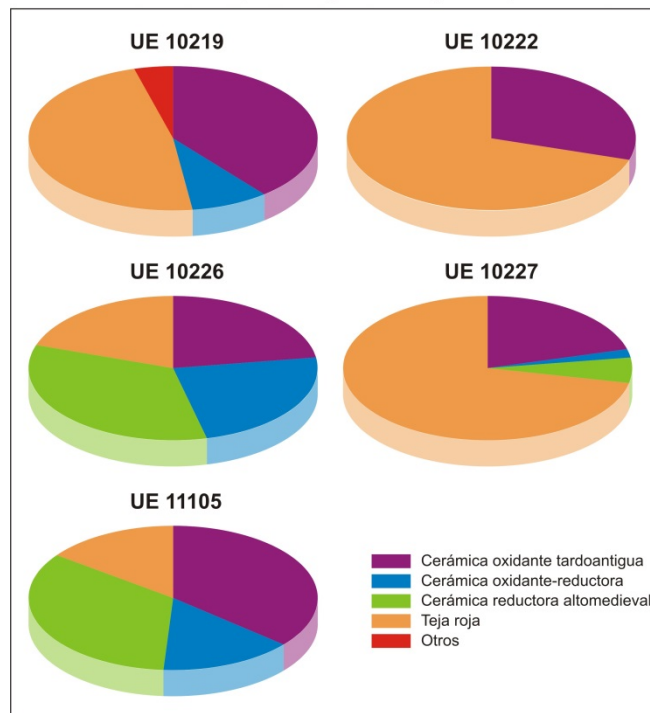
Dejando de lado los materiales con forma y siguiendo con el balance y perspectivas de los materiales cerámicos recuperados, debemos mencionar la presencia relativamente abundante de materiales informes, de dimensiones reducidas, así como de numerosos fragmentos de teja roja, probablemente relacionados con las últimas fases del poblamiento y atribuibles a los siglos XII – XIII.

Si observamos las proporciones de los volúmenes principales descritos en función del cómputo total de fragmentos (*fig. 19*) podemos ofrecer varias conclusiones al respecto:

- ✚ Las unidades con mayor concentración de materiales suelen corresponder con las fases de destrucción y amortización final de cada una de las zonas intervenidas (UE 10219, 10222, 10226, 20227, 11105)
- ✚ En la mayoría de casos, se detecta una proporción muy elevada de materiales tardoantiguos en relación con los conjuntos más tardíos, propios del periodo altomedieval.
- ✚ En particular, dentro de los conjuntos más abundantes (UE 10226, 11105) destaca la elevada proporción de este tipo de cerámicas, que supera habitualmente el 20-25%. Incluso en aquellos conjuntos en donde el volumen de teja es superior (UE 10222, 10227), el volumen total de materiales tardoantiguos se acerca al 20%; hecho que nos obliga a retardar la cronología tradicionalmente asumida para el yacimiento.



El gráfico sectorial de la izquierda muestra la distribución de materiales cerámicos en función de su tipo, mientras que a la derecha, podemos ver la distribución de los materiales cerámicos de vajilla y uso, omitiendo el material constructivo. El grupo "otros materiales cerámicos" aparece desglosado en el gráfico superior.



Gráficos sectoriales que muestran la distribución de material cerámico en función de su tipo para cada uno de los volúmenes mayoritarios (UE 10219, 10222, 10226, 10227 y 11105).

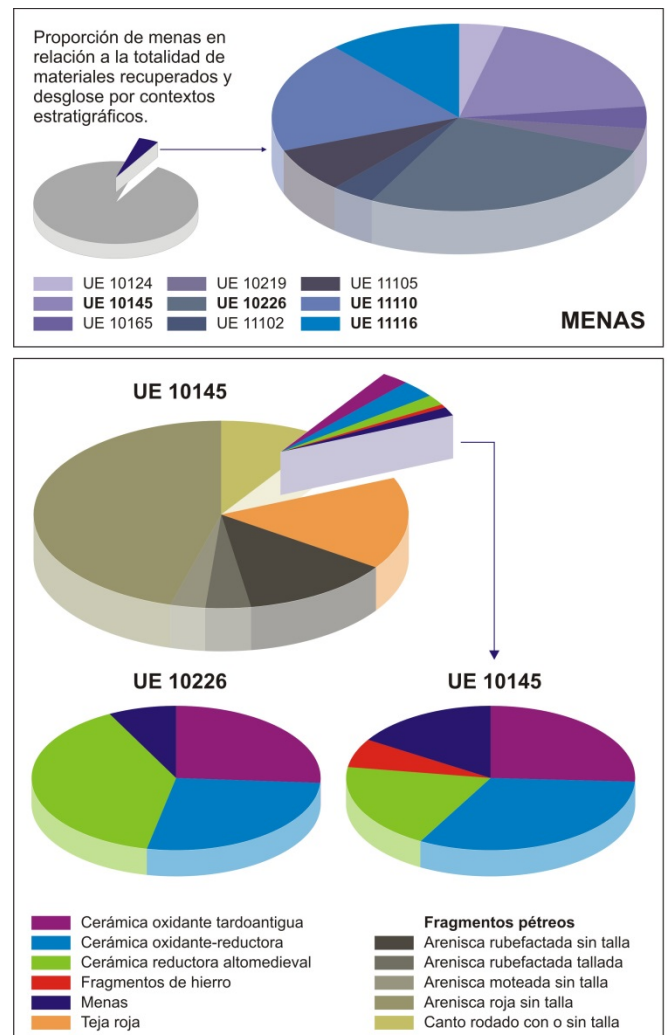
Fig. 19: Gráficos sectoriales de distribución de los volúmenes de material cerámico en función de los contextos principales y su clasificación.

- Existe una proporción muy reducida de cerámica bajomedieval y de algunos fragmentos singulares también de cronología antigua (fragmentos bruñidos y espatulados) de los cuales no podemos presentar paralelos debido a su escasez y singularidad. Todos ellos constituyen un conjunto inferior al 3% de la totalidad de materiales.

Para concluir, debemos prestar atención a un caso particular de este estudio que viene dado por la presencia relativamente abundante de menas. Estos materiales pétreos sometidos a altas temperaturas y parcialmente vitrificados están relacionados con la tecnología de los metales para la obtención de los mismos. Mientras que en 2014 dichos elementos quedaron restringidos a un único contexto (UE 10145), la ampliación considerable del área de intervención en 2015 ha permitido recuperar varios fragmentos más en una multiplicidad mayor de contextos, entre los cuales destaca especialmente el derrumbe UE 10226 (*fig. 20*).

Ambos derrumbes son interpretables en términos parecidos: Si dejamos de lado las muestras de arenisca (rufefactada, moteada, con o sin talla) y canto rodado recuperadas en la UE 10145, que distorsionan algo el cálculo proporcional si tenemos en cuenta que no fueron sistemáticamente recogidas en el derrumbe UE 10226 y nos centramos en la proporción existente entre menas, material de hierro y materiales cerámicos, podemos comprobar como ambos contextos (UE 10145 y 10226) ofrecen un panorama parecido, en donde el volumen de menas oscila alrededor de un 10-15% y la proporción de cerámica ocupa el 85-90% restante. Entre el segundo grupo, las proporciones de cerámica tardoantigua, oxidante-reductora y altomedieval se repiten casi de manera idéntica en una proporción aproximada de un tercio en ambos casos.

El panorama de conjunto, pues, refuerza de nuevo la idea de un poblamiento temprano, con unas actividades productivas rudimentarias encaminadas al autoabastecimiento y con una predominancia de elementos locales, en un contexto de transferencias culturales limitado a círculos regionales reducidos.



Gráficos sectoriales que permiten realizar un análisis comparativo entre las proporciones de menas, material de hierro y material cerámico de los derrumbes UE 10145 y 10226 excavados en las intervenciones de 2014 y 2015 respectivamente.

Fig. 20: Gráficos sectoriales de distribución de la proporción de menas y análisis comparativo de la proporción de materiales entre los derrumbes UE 10145 y 10226.

Relación de materiales cerámicos recuperados en la intervención de 2015:

Nº de inv.	Clase	Tipo de pieza	Elementos conservados	Clasificación	Datación (dC)
10100-007	Vaso / consumo	indeterminado	1 Fragmento informe	Cerámica moderna con vedrío	p. XIV
10100-008	Vaso / consumo	indeterminado	1 Fragmento informe	Cerámica moderna con vedrío	p. XIV
10100-009	Vaso / consumo	indeterminado	1 Fragmento de asa	Cerámica moderna con vedrío	p. XIV
10100-011	Material de construcción	tegula (teja plana)	14 Fragmentos informes	Teja roja	a. XIII
10100-012	Vaso / consumo	indeterminado	2 Fragmentos informes	Cerámica oxidante tardoantigua	c. IV - VI
10100-013	Material de construcción	tegula (teja plana)	1 Fragmento informe	Teja roja	a. XIII
10124-016	Material de construcción	indeterminado	1 Fragmento informe	Teja roja	a. XIII
10124-018	Vaso / consumo	indeterminado	1 Fragmento informe	Cerámica oxidante tardoantigua	c. IV - VI
10124-019	Vaso / consumo	indeterminado	1 Fragmento informe	Cerámica oxidante-reductora	c. V - VIII
10124-020	Vaso / consumo	indeterminado	2 Fragmentos informes	Cerámica oxidante tardoantigua	c. IV - VI
10150-002	Material de construcción	tegula (teja plana)	4 Fragmentos informes	Teja roja	a. XIII
10152-003	Material de construcción	tegula (teja plana)	6 Fragmentos informes	Teja roja	a. XIII
10152-004	Material de construcción	tegula (teja plana)	1 Fragmento informe	Teja roja	a. XIII
10152-005	Vaso / consumo	indeterminado	1 Fragmento informe	Cerámica oxidante tardoantigua	c. IV - VI
10152-006	Material de construcción	tegula (teja plana)	1 Fragmento informe	Teja roja	a. XIII
10157-001	Material de construcción	tegula (teja plana)	2 Fragmentos informes	Teja roja	a. XIII
10157-003	Vaso / consumo	indeterminado	1 Fragmento informe	Cerámica oxidante tardoantigua	c. IV - VI
10157-004	Vaso / consumo	indeterminado	1 Fragmento informe	Cerámica reductora altomedieval	c. VI - IX
10157-005	Vaso / consumo	indeterminado	1 Fragmento informe	Cerámica oxidante tardoantigua	c. IV - VI
10157-006	Material de construcción	indeterminado	1 Fragmento informe	Teja roja	a. XIII
10157-007	Vaso / consumo	indeterminado	2 Fragmentos informes	Cerámica oxidante tardoantigua	c. IV - VI
10157-008	Vaso / consumo	indeterminado	1 Fragmento informe	Cerámica oxidante tardoantigua	c. IV - VI
10165-002	Material de construcción	indeterminado	5 Fragmentos informes	Teja roja	a. XIII
10191-001	Material de construcción	tegula (teja plana)	1 Fragmento informe	Teja roja	a. XIII
10192-002	Material de construcción	tegula (teja plana)	3 Fragmentos informes	Teja roja	a. XIII
10192-003	Vaso / consumo	indeterminado	1 Fragmento informe	Cerámica espatulada	c. VI - VIII
10192-004	Vaso / consumo	indeterminado	1 Fragmento informe	Cerámica oxidante-reductora	c. V - VIII
10192-005	Vaso / consumo	indeterminado	1 Fragmento informe	Cerámica oxidante tardoantigua	c. IV - VI
10192-006	Vaso / consumo	indeterminado	1 Fragmento informe	Cerámica oxidante tardoantigua	c. IV - VI
10195-001	Material de construcción	tegula (teja plana)	3 Fragmentos informes	Teja roja	a. XIII
10202-002	Material de construcción	tegula (teja plana)	1 Fragmento informe	Teja roja	a. XIII
10205-001	Vaso / consumo	indeterminado	5 Informes + borde	Cerámica oxidante tardoantigua	c. IV - VI
10209-001	Material de construcción	tegula (teja plana)	5 Fragmentos informes	Teja roja	a. XIII
10209-002	Vaso / consumo	indeterminado	1 Fragmento informe	Cerámica oxidante tardoantigua	c. IV - VI
10212-001	Vaso / consumo	indeterminado	1 Fragmento informe	Cerámica oxidante tardoantigua	c. IV - VI
10216-003	Material de construcción	tegula (teja plana)	7 Fragmentos informes	Teja roja	a. XIII
10216-004	Vaso / consumo	indeterminado	2 Fragmentos informes	Cerámica oxidante tardoantigua	c. IV - VI
10216-005	Vaso / consumo	indeterminado	1 Fragmento informe	Cerámica oxidante tardoantigua	c. IV - VI
10216-006	Vaso / consumo	indeterminado	5 Fragmentos informes	Cerámica oxidante tardoantigua	c. IV - VI
10217-002	Vaso / consumo	indeterminado	1 Fragmento informe	Cerámica oxidante tardoantigua	c. IV - VI
10217-003	Material de construcción	ímbrice (teja curva)	1 Fragmento informe	Teja roja	a. XIII
10217-004	Material de construcción	tegula (teja plana)	2 Fragmentos informes	Teja roja	a. XIII
10217-005	Vaso / consumo	indeterminado	1 Fragmento informe	Cerámica oxidante tardoantigua	c. IV - VI
10219-003	Material de construcción	tegula (teja plana)	11 Fragmentos informes	Teja roja	a. XIII
10219-004	Vaso / consumo	indeterminado	6 Fragmentos informes	Cerámica oxidante tardoantigua	c. IV - VI
10219-005	Vaso / consumo	indeterminado	1 Fragmento informe	Cerámica moderna con vedrío	p. XIV
10219-007	Vaso / consumo	indeterminado	1 Fragmento informe	Cerámica oxidante tardoantigua	c. IV - VI
10219-008	Vaso / consumo	indeterminado	2 Fragmentos informes	Cerámica oxidante-reductora	c. V - VIII
10219-009	Vaso / consumo	indeterminado	2 Fragmentos informes	Cerámica oxidante tardoantigua	c. IV - VI
10222-001	Material de construcción	tegula (teja plana)	43 Fragmentos informes	Teja roja	a. XIII
10222-002	Vaso / consumo	indeterminado	8 Informes + base	Cerámica oxidante tardoantigua	c. IV - VI
10222-003	Vaso / consumo	indeterminado	5 Fragmentos informes	Cerámica oxidante tardoantigua	c. IV - VI
10222-004	Vaso / consumo	indeterminado	5 Fragmentos informes	Cerámica oxidante tardoantigua	c. IV - VI
10222-005	Material de construcción	tegula (teja plana)	4 Fragmentos informes	Teja roja	a. XIII
10222-008	Vaso / consumo	olla	1 Fragmento de borde	Cerámica oxidante tardoantigua	c. IV - VI
10222-009	Vaso / consumo	olla	1 Fragmento de borde	Cerámica oxidante tardoantigua	c. IV - VI
10226-001	Vaso / consumo	ánfora	5 Fragmentos informes	Cerámica oxidante tardoantigua	c. IV - VI

Nº de inv.	Clase	Tipo de pieza	Elementos conservados	Clasificación	Datación (dC)
10226-002	Vaso / consumo	indeterminado	7 Fragmentos informes	Cerámica oxidante tardoantigua	c. IV - VI
10226-003	Vaso / consumo	indeterminado	3 Fragmentos informes	Cerámica oxidante-reductora	c. V - VIII
10226-004	Vaso / consumo	indeterminado	5 Fragmentos informes	Cerámica reductora altomedieval	c. VI - IX
10226-005	Vaso / consumo	indeterminado	9 Fragmentos informes	Cerámica reductora altomedieval	c. VI - IX
10226-006	Vaso / consumo	indeterminado	22 Fragmentos informes	Cerámica reductora altomedieval	c. VI - IX
10226-007	Vaso / consumo	indeterminado	10 informes + base	Cerámica oxidante tardoantigua	c. IV - VI
10226-008	Material de construcción	tegula (teja plana)	1 Fragmento informe	Teja roja	a. XIII
10226-010	Material de construcción	tegula (teja plana)	20 Fragmentos informes	Teja roja	a. XIII
10226-011	Vaso / consumo	indeterminado	11 Fragmentos informes	Cerámica oxidante-reductora	c. V - VIII
10226-012	Vaso / consumo	indeterminado	11 Fragmentos informes	Cerámica oxidante-reductora	c. V - VIII
10226-017	Vaso / consumo	ánfora	1 Asa	Ánfora	a. V
10226-018	Vaso / consumo	ánfora	1 Arranque de asa	Ánfora	a. V
10227-001	Material de construcción	tegula (teja plana)	1 Fragmento informe	Teja roja	a. XIII
10227-002	Material de construcción	tegula (teja plana)	1 Fragmento informe	Teja roja	a. XIII
10227-003	Vaso / consumo	indeterminado	3 Fragmentos informes	Cerámica oxidante tardoantigua	c. IV - VI
10227-004	Vaso / consumo	indeterminado	1 Fragmento informe	Cerámica reductora altomedieval	c. VI - IX
10227-006	Vaso / consumo	indeterminado	4 Fragmentos informes	Cerámica oxidante tardoantigua	c. IV - VI
10227-007	Vaso / consumo	indeterminado	1 Fragmento informe	Cerámica oxidante-reductora	c. V - VIII
10227-008	Material de construcción	tegula (teja plana)	1 Fragmento informe	Teja roja	a. XIII
10227-009	Material de construcción	indeterminado	18 Fragmentos informes	Teja roja	a. XIII
10227-010	Material de construcción	indeterminado	14 Fragmentos informes	Teja roja	a. XIII
10227-011	Vaso / consumo	indeterminado	2 Fragmentos informes	Cerámica oxidante tardoantigua	c. IV - VI
10227-012	Vaso / consumo	indeterminado	1 Fragmento informe	Cerámica oxidante tardoantigua	c. IV - VI
10227-013	Vaso / consumo	indeterminado	1 Fragmento informe	Cerámica reductora altomedieval	c. VI - IX
10227-014	Vaso / consumo	olla	1 Fragmento de base	Cerámica oxidante tardoantigua	c. IV - VI
10227-015	Vaso / consumo	indeterminado	1 Fragmento de borde	Cerámica reductora altomedieval	c. VI - IX
10227-016	Material de construcción	tegula (teja plana)	3 Fragmentos informes	Teja roja	a. XIII
10228-001	Vaso / consumo	indeterminado	1 Fragmento informe	Cerámica reductora altomedieval	c. VI - IX
10228-002	Vaso / consumo	indeterminado	1 Fragmento informe	Cerámica oxidante-reductora	c. V - VIII
10228-003	Vaso / consumo	indeterminado	2 Fragmentos informes	Cerámica oxidante tardoantigua	c. IV - VI
10228-004	Material de construcción	indeterminado	7 Fragmentos informes	Teja roja	a. XIII
10229-001	Vaso / consumo	indeterminado	1 Fragmento informe	Cerámica oxidante tardoantigua	c. IV - VI
10229-002	Material de construcción	tegula (teja plana)	1 Fragmento informe	Teja roja	a. XIII
10229-003	Vaso / consumo	indeterminado	1 Fragmento informe	Cerámica reductora altomedieval	c. VI - IX
10229-004	Vaso / consumo	indeterminado	1 Fragmento informe	Cerámica reductora altomedieval	c. VI - IX
10229-005	Vaso / consumo	indeterminado	1 Fragmento informe	Cerámica oxidante tardoantigua	c. IV - VI
10229-007	Vaso / consumo	indeterminado	1 Fragmento informe	Cerámica oxidante tardoantigua	c. IV - VI
10229-008	Vaso / consumo	indeterminado	1 Fragmento informe	Cerámica oxidante tardoantigua	c. IV - VI
10237-001	Vaso / consumo	indeterminado	1 Fragmento informe	Cerámica oxidante tardoantigua	c. IV - VI
10237-002	Material de construcción	tegula (teja plana)	1 Fragmento informe	Teja roja	a. XIII
10237-003	Material de construcción	tegula (teja plana)	1 Fragmento informe	Teja roja	a. XIII
10244-001	Vaso / consumo	Asa	1 Fragmento informe	Cerámica moderna con vedrío	p. XIV
10248-001	Material de construcción	tegula (teja plana)	1 Fragmento informe	Teja roja	a. XIII
10248-002	Material de construcción	tegula (teja plana)	2 Fragmentos informes	Teja roja	a. XIII
10248-003	Material de construcción	tegula (teja plana)	6 Fragmentos informes	Teja roja	a. XIII
10248-004	Material de construcción	tegula (teja plana)	1 Fragmento informe	Teja roja	a. XIII
10248-005	Vaso / consumo	indeterminado	3 Fragmentos informes	Cerámica oxidante tardoantigua	c. IV - VI
10248-006	Vaso / consumo	indeterminado	1 Fragmento informe	Cerámica reductora altomedieval	c. VI - IX
10251-001	Vaso / consumo	indeterminado	1 Fragmento informe	Cerámica oxidante tardoantigua	c. IV - VI
10251-002	Material de construcción	indeterminado	1 Fragmento informe	Teja roja	a. XIII
10252-001	Material de construcción	tegula (teja plana)	1 Fragmento informe	Teja roja	a. XIII
10252-002	Vaso / consumo	indeterminado	2 Fragmentos informes	Cerámica oxidante tardoantigua	c. IV - VI
10252-003	Vaso / consumo	indeterminado	1 Fragmento informe	Cerámica oxidante bruñida	c. VI - VIII
10252-004	Material de construcción	tegula (teja plana)	1 Fragmento informe	Teja roja	a. XIII
10252-006	Vaso / consumo	indeterminado	1 Fragmento informe	Cerámica oxidante tardoantigua	c. IV - VI
11102-002	Vaso / consumo	indeterminado	1 Fragmento de pie	Cerámica oxidante tardoantigua	c. IV - VI
11102-004	Vaso / consumo	plato	1 Fragmento de borde	Cerámica oxidante tardoantigua	c. IV - VI
11102-005	Vaso / consumo	jarra	1 Fragmento de base	Cerámica oxidante-reductora	c. V - VIII
11102-006	Vaso / consumo	cazuela	1 Fragmento de base	Cerámica reductora altomedieval	c. VI - IX

Nº de inv.	Clase	Tipo de pieza	Elementos conservados	Clasificación	Datación (dC)
11102-008	Vaso / consumo	indeterminado	1 Fragmento informe	Cerámica reductora altomedieval	c. VI - IX
11102-009	Vaso / consumo	indeterminado	1 Fragmento informe	Cerámica reductora altomedieval	c. VI - IX
11102-010	Vaso / consumo	indeterminado	1 Fragmento informe	cerámica oxidante tardoantigua	c. IV - VI
11102-011	Vaso / consumo	indeterminado	1 Fragmento informe	Cerámica oxidante-reductora	c. V - VIII
11102-012	Vaso / consumo	indeterminado	3 Fragmentos informes	Cerámica oxidante tardoantigua	c. IV - VI
11102-013	Vaso / consumo	indeterminado	1 Fragmento informe	cerámica oxidante tardoantigua	c. IV - VI
11102-014	Vaso / consumo	indeterminado	1 Fragmento informe	cerámica gris bruñida	c. VI - VIII
11102-015	Vaso / consumo	indeterminado	1 Fragmento informe	Cerámica reductora altomedieval	c. VI - IX
11102-016	Vaso / consumo	indeterminado	1 Fragmento informe	Cerámica reductora altomedieval	c. VI - IX
11102-017	Material de construcción	no identificable	1 Fragmento informe	Teja roja	a. XIII
11102-018	Vaso / consumo	indeterminado	1 Fragmento informe	cerámica oxidante tardoantigua	c. IV - VI
11102-019	Vaso / consumo	indeterminado	1 Fragmento informe	cerámica oxidante tardoantigua	c. IV - VI
11102-020	Vaso / consumo	indeterminado	1 Fragmento informe	Cerámica reductora altomedieval	c. VI - IX
11102-022	Material de construcción	ímbrice (teja curva)	1 Fragmento informe	Teja roja	a. XIII
11105-001	Vaso / consumo	indeterminado	2 Fragmentos informes	Cerámica oxidante-reductora	c. V - VIII
11105-002	Vaso / consumo	indeterminado	2 Fragmentos informes	Cerámica oxidante-reductora	c. V - VIII
11105-003	Vaso / consumo	indeterminado	1 Fragmento informe	Cerámica oxidante tardoantigua	c. IV - VI
11105-004	Vaso / consumo	indeterminado	2 Fragmentos informes	Cerámica reductora altomedieval	c. VI - IX
11105-005	Vaso / consumo	indeterminado	1 Fragmento informe	Cerámica reductora altomedieval	c. VI - IX
11105-006	Vaso / consumo	indeterminado	7 Fragmentos informes	Cerámica reductora altomedieval	c. VI - IX
11105-007	Material de construcción	tegula (teja plana)	1 Fragmento informe	Teja roja	a. XIII
11105-008	Vaso / consumo	indeterminado	1 Fragmento informe	Cerámica oxidante tardoantigua	c. IV - VI
11105-009	Material de construcción	indeterminado	3 Fragmentos informes	Teja roja	a. XIII
11105-010	Vaso / consumo	indeterminado	7 Fragmentos informes	Cerámica oxidante tardoantigua	c. IV - VI
11105-011	Vaso / consumo	indeterminado	1 Fragmento informe	Cerámica oxidante tardoantigua	c. IV - VI
11105-013	Vaso / consumo	indeterminado	1 Fragmento informe	Cerámica oxidante-reductora	c. V - VIII
11105-014	Vaso / consumo	indeterminado	1 Fragmento informe	Cerámica oxidante tardoantigua	c. IV - VI
11105-015	Vaso / consumo	indeterminado	1 Fragmento informe	Cerámica reductora altomedieval	c. VI - IX
11105-016	Vaso / consumo	indeterminado	1 Fragmento informe	Cerámica oxidante-reductora	c. V - VIII
11105-017	Vaso / consumo	indeterminado	1 Fragmento informe	Cerámica oxidante tardoantigua	c. IV - VI
11105-018	Vaso / consumo	indeterminado	1 Fragmento informe	Cerámica reductora altomedieval	c. VI - IX
11105-019	Vaso / consumo	indeterminado	1 Fragmento informe	Cerámica oxidante tardoantigua	c. IV - VI
11105-020	Vaso / consumo	indeterminado	1 Fragmento informe	Cerámica oxidante tardoantigua	c. IV - VI
11105-021	Vaso / consumo	indeterminado	3 Fragmentos informes	Cerámica oxidante tardoantigua	c. IV - VI
11105-022	Vaso / consumo	indeterminado	2 Fragmentos informes	Cerámica reductora altomedieval	c. VI - IX
11105-023	Vaso / consumo	indeterminado	2 Fragmentos informes	Cerámica reductora altomedieval	c. VI - IX
11105-024	Material de construcción	tegula (teja plana)	3 Fragmentos informes	Teja roja	a. XIII
11105-025	Vaso / consumo	indeterminado	1 Fragmento informe	Cerámica oxidante-reductora	c. V - VIII
11107-001	Vaso / consumo	indeterminado	1 Fragmento informe	Cerámica oxidante tardoantigua	c. IV - VI
11108-001	Vaso / consumo	indeterminado	1 Fragmento informe	Cerámica oxidante tardoantigua	c. IV - VI
11116-001	Vaso / consumo	indeterminado	1 Fragmento informe	Cerámica oxidante-reductora	c. V - VIII
11121-001	Vaso / consumo	Asa de jarra	1 Fragmento informe	Cerámica oxidante tardoantigua	c. IV - VI
11121-002	Vaso / consumo	indeterminado	1 Fragmento informe	Cerámica oxidante tardoantigua	c. IV - VI
11121-003	Vaso / consumo	indeterminado	1 Fragmento informe	Cerámica reductora altomedieval	c. VI - IX
12100-001	Vaso / consumo	indeterminado	1 Fragmento informe	Cerámica oxidante-reductora	c. V - VIII
12100-002	Vaso / consumo	indeterminado	1 Fragmento informe	Cerámica oxidante tardoantigua	c. IV - VI
12100-007	Material de construcción	ímbrice (teja curva)	3 Fragmentos informes	Teja roja	a. XIII
12105-001	Vaso / consumo	indeterminado	1 Fragmento informe	Cerámica oxidante tardoantigua	c. IV - VI
12105-003	Vaso / consumo	indeterminado	1 Fragmento de borde	Cerámica reductora altomedieval	c. VI - IX
13100-003	Vaso / consumo	indeterminado	1 Fragmento informe	Cerámica oxidante tardoantigua	c. IV - VI

Relación de materiales no cerámicos recuperados en la intervención de 2015:

Nº de inv.	Material	Clase	Elementos conservados
10124-017	piedra / mineral	arenisca	1 Fragmento
10150-004	piedra / mineral	arenisca	7 Fragmentos
10152-008	piedra / mineral	Arenisca	2 Fragmentos
10216-001	piedra / mineral	arenisca	1 Fragmento
10217-001	piedra / mineral	Arenisca	1 Fragmento
10219-002	piedra / mineral	arenisca	1 Fragmento
10222-006	piedra / mineral	arenisca	7 Fragmentos
10226-009	piedra / mineral	arenisca	1 Fragmento
10226-014	piedra / mineral	arenisca	1 pieza cuadrangular tallada
10227-005	piedra / mineral	arenisca	3 Fragmentos
10238-001	piedra / mineral	arenisca	9 Fragmentos
10252-005	piedra / mineral	arenisca	1 Fragmento
10999-001	piedra / mineral	arenisca	2 Fragmentos
11102-001	piedra / mineral	arenisca	1 Fragmento
11102-021	piedra / mineral	arenisca	1 Ficha de juego hexagonal
11105-012	piedra / mineral	arenisca	1 Fragmento
11105-028	piedra / mineral	arenisca	1 Fragmento
12100-003	piedra / mineral	arenisca	5 Fragmentos
12100-006	piedra / mineral	arenisca	9 Fragmentos
12105-002	piedra / mineral	arenisca	2 Fragmentos
13100-002	piedra / mineral	arenisca	1 Fragmento
12100-004	piedra / mineral	arenisca quemada	5 Fragmentos
10100-005	piedra / mineral	arenisca	1 Fragmento quemado
10100-006	piedra / mineral	arenisca	3 Fragmentos
10100-010	piedra / mineral	canto rodado	5 Fragmentos
10124-015	piedra / mineral	canto rodado	1 Fragmento
10150-003	piedra / mineral	canto rodado	7 Fragmentos
10152-007	piedra / mineral	Canto Rodado	8 Fragmentos
10157-002	piedra / mineral	canto rodado	12 Fragmentos
10165-001	piedra / mineral	canto rodado	9 Fragmentos
10192-001	piedra / mineral	canto rodado	2 1 canto entero y 1 rodaja
10194-001	piedra / mineral	canto rodado	10 Fragmentos
10202-001	piedra / mineral	canto rodado	5 Fragmentos
10216-002	piedra / mineral	canto rodado	2 Fragmentos
10219-006	piedra / mineral	canto rodado	1 Fragmento
10222-007	piedra / mineral	canto rodado	7 6 fragmentos y 1 rodaja
10228-005	piedra / mineral	canto rodado	1 Fragmento
10229-006	piedra / mineral	Canto rodado	2 Fragmentos
11102-003	piedra / mineral	canto rodado	4 3 enteros y 1 fragmento
11105-027	piedra / mineral	canto rodado	1 canto entero
12100-005	piedra / mineral	canto rodado	6 Fragmentos
13100-001	piedra / mineral	canto rodado	1 Fragmento
10226-013	piedra / mineral	mena	7 Fragmentos
10165-003	piedra / mineral	mena	1 Fragmento
10219-001	piedra / mineral	mena	1 Fragmento
11102-007	piedra / mineral	mena	1 Fragmento
11105-026	piedra / mineral	mena	2 Fragmentos
11110-001	piedra / mineral	mena	5 Fragmentos
11116-002	piedra / mineral	mena	3 Fragmentos
11113-001	metal	hierro	1 Clavo entero
10100-014	madera	indeterminada	1 Fragmento
10100-015	madera	indeterminada	13 Fragmentos

3. CONCLUSIONES

Después de la ejecución del proyecto de investigación HAR2012-33673, titulado “La formación del paisaje medieval: el origen de la red aldeana en el Alto Arlanza”, que ha implicado la realización de dos campañas de excavación (2014-2015) en el yacimiento de Revenga, el panorama interpretativo de dicho yacimiento en su contexto territorial presenta avances significativos. Revenga es un yacimiento singular, con un enorme potencial para favorecer la comprensión de los procesos de poblamiento en la coyuntura de transición entre el mundo antiguo y el medieval. Constituye sin duda un buen ejemplo de los procesos de ocupación y explotación del territorio en un entorno periférico, de montaña, y alejado de los grandes circuitos territoriales gestados por la articulación del paisaje bajo dominación romana, con las ventajas e inconvenientes que ello conlleva.

Las tareas realizadas durante la intervención de 2015 se han centrado en tres tipos de intervención: (1) una excavación extensiva en una explanada anexa al espacio de la necrópolis, que comprende una superficie de 450 m²; (2) una excavación intensiva en un sondeo puntual de 45 m² realizado en la zona de intervención más lejana al nordeste de la necrópolis y, finalmente, (3) una prospección en superficie de algunos espacios anexos a la necrópolis y de la campiña que se extiende al sureste de la misma a fin de delimitar el potencial del yacimiento y las posibles estrategias de intervención futuras.

Los trabajos de excavación han revelado la existencia de un poblamiento continuado en las áreas excavadas, que se sucede en el tiempo de manera más o menos intensiva y que se caracteriza por:

- La existencia de unas estructuras sencillas, rudimentarias, probablemente construidas con material vegetal perecedero (Wickham 2005: 486, 491), típico de los contextos tardoantiguos y altomedievales;
- La reutilización intensa de dichas estructuras y sus espacios anexos en un poblamiento continuado, estructurado como mínimo en dos fases, pero probablemente en una secuencia temporal mucho más compleja;
- La evolución del poblamiento a lo largo de un periodo dilatado de tiempo, con variaciones en su dispersión/concentración adecuándose a las necesidades de cada contexto histórico;
- La interacción sistemática de los pobladores con el suelo rocoso, que es tallado, adaptado y acondicionado a las necesidades tanto del poblamiento como de las actividades productivas que de él se derivan;
- La explotación del suelo para tareas productivas variables complementarias de la actividad ganadera ocasionalmente relacionadas con la producción y trabajo de metales.
- El origen de dicho poblamiento en un momento impreciso, probablemente alrededor de los siglos IV-V d. C. en un contexto de cristianización progresiva del espacio, todavía con fuertes reminiscencias precristianas.

Los trabajos de prospección permiten hacer una estimación del potencial arqueológico del yacimiento y proyectar intervenciones futuras, a realizar en el marco de un proyecto diseñado a medio y largo plazo. El área norte de la necrópolis, que no está totalmente delimitada, constituye un centro de interés remarcable, por la existencia de una estructura de envergadura, revestida de una cierta monumentalidad y de grandes dimensiones a juzgar por los vestigios que permanecen en la arenisca. Este espacio debe de ser excavado de manera sistemática. La campiña que se extiende al sur de la pista asfaltada que conduce a Quintanar de la Sierra presenta un alto potencial. Su excavación a medio y largo plazo puede aportar información muy valiosa acerca de la secuencia temporal de las unidades de hábitat puesto que se aprecia en el terreno una distribución desigual del sedimento que puede proporcionar áreas de especial potencia estratigráfica como la que se detecta en el sondeo puntual realizado sobre RM4. La excavación extensiva durante un periodo de tiempo superior al condicionado por un plan bianual en el marco de un proyecto I+D como el realizado hasta ahora permitiría aumentar de manera exponencial el conocimiento que hasta ahora tenemos de este yacimiento emblemático y facilitar elementos para una mejor comprensión de los distintos núcleos coetáneos conocidos en la zona.

Por todo ello, Revenga constituye un elemento patrimonial de primer orden, con un inmenso potencial para la investigación arqueológica de base, cuyos primeros resultados hemos sistematizado a lo largo de esta memoria científica. Los trabajos realizados aportan algunas respuestas a las hipótesis de trabajo planteadas, pero, a su vez, suscitan nuevos interrogantes y cuestiones que esperamos poder responder en el futuro: Precisar la relación cronológica y espacial entre la necrópolis y el poblamiento, delimitar y acotar los distintos espacios ocupados y sus usos, determinar la relación entre el poblado de Revenga y los alrededores en un circuito comarcal y regional más amplio a lo largo de la sierra y hacia las inmediaciones del valle del Arlanza son tareas que quedan pendientes. La realización de un nuevo proyecto, que pueda dar continuidad a dicha investigación y a su vez poner en valor un yacimiento excepcional, es un reto prometedor y, a la vez, un compromiso firme por parte de nuestro equipo.

4. BIBLIOGRAFÍA Y REFERENCIAS

Referencias citadas:

- ÁLVARO RUEDA, K. (2012): *El poblamiento altomedieval y sus manifestaciones funerarias en la cuenca alta del río Arlanza (s. IX – XI)*. Universidad de Barcelona. Tesis doctoral en red (<http://hdl.handle.net/10803/80651>).
- BERMEJO TIRADO, J. (2014): *Arqueología de los espacios domésticos romanos: condiciones de vida y sociedad en la Meseta Nordeste durante el periodo imperial*. Soria: Diputación Provincial.
- BOHIGAS, R.; GUTIÉRREZ, A. (ed.) (1989): *La cerámica medieval en el norte y noroeste de la Península Ibérica. Aproximación a su estudio*. Universidad de León, León.
- BONHOURE, I. (1992): “La production de poteries grises au XIII^e s. à Saint-Victor-des-Oules (Gard). Étude du four 91a”. *Archéologie du Midi Médiéval* 10: 205–228.
- BONHOURE, I.; MARCHESI, H. (1993): “Le site du pont Julien a Bonnieux (Vaucluse). Un four de potiers médiéval et sa production de céramiques grises”. *Archéologie du Midi Médiéval* 11: 99–108.
- BROGIOLO, G. P.; GELICHI, S. (1986): “La ceramica grezza medievale nella pianura padana”. In: *La cerámica medievale nel Mediterraneo Occidentale, Siena – Faenza, 1984*. All'Insegna del Giglio, Florencia, pp. 293–316.
- BROGIOLO, G. P.; GELICHI, S. (1997): “Ceramiche, tecnologia e organizzazione della produzione nell'Italia settentrionale tra VI e X secolo”. In: Démians d'Archimbaud G (ed) *La céramique médiévale en Méditerranée. Actes du VI^e Congrès de l'AIECM2, Aix-en-Provence 1995*. Narrations, Aix-en-Provence, pp 139–145.
- FOSSIER, R., (1984): *La infancia de Europa. Aspectos económicos y sociales*. Labor, Barcelona.
- (1985): *Historia del campesinado en el occidente medieval*. Crítica, Barcelona.
- (1996): *La sociedad medieval*. Crítica, Barcelona.
- GARCÍA CAMINO, I., *Arqueología y poblamiento en Bizkaia, siglos VI-XII. La configuración de la sociedad feudal*. Bilbao, Diputación Foral de Bizkaia, 2002.
- HARRIS, E.C., *Principios de estratigrafía arqueológica*. Ed. Crítica, Barcelona, 1989.
- LEENHARDT, M.; PITON, J.; VALLAURY, L.; FOY, D. (1996): “L'évolution des vaisseilles médiévales à Arles: L'exemple du dépotoir des prêcheurs”. *Archéologie du Midi Médiéval* 14: 97–139.
- LÓPEZ, M.D. (2014): *Memoria de los trabajos de excavación arqueológica en el yacimiento de Revenga (2014)*. Inédita.
- LÓPEZ, M.D. (2015): *Informe preliminar de los trabajos de excavación arqueológica en el yacimiento de Revenga (2015)*. Inédito.
- PELLETIER, J.P.; BERARD, G. (1996): “Fours de potier et céramiques du XI^e siècle à Cabasse (Var)”. *Archéologie du Midi Médiéval* 14: 33–47.
- MILANESE, M. (2007): “La cerámica grezza medievale in Sardegna”. In: *Atti del XXXIX Convegno Internazionale della Ceramica (Savona, maggio 2006)*. Florence, pp 323–337

- MÍNGUEZ, J. M. (2004): "En torno a la génesis de las sociedades peninsulares altomedievales. Reflexiones y nuevas propuestas". *Studia historica. Historia medieval*, 22, pp. 169-188.
- VIGIL-ESCALERA, A; QUIRÓS, J. A (2012): "Arqueología de los paisajes rurales altomedievales en el noroeste peninsular". *Anejos del Archivo Español de Arqueología*, 56, pp. 83-99.
- QUIRÓS CASTILLO, J.A. (2007): "Las aldeas de los historiadores y de los arqueólogos en la Alta Edad Media del Norte Peninsular", *Territorio, Sociedad y Poder. Revista de Estudios Medievales*, 2, pp. 63-86.
- TEJERIZO, C. (2014): "Estructuras de fondo rehundido altomedievales en la Península Ibérica". *Munibe (Antropología-Arqueología)*, 65, pp. 215-237
- ZADORA RIO, E. (1995): "Le village des historiens et le village des archéologues", En R. MORNET (ed.), *Campagnes Médiévales: l'homme et son espace. Étude offertes à Robert Fossier*, Paris, 1995, pp. 143-153.
- WICKHAM, C. (2005): *Framing the Early Middle Ages: Europe and the Mediterranean, 400-800*. Oxford: Oxford University Press.

Bibliografía sumaria:

- ALFARO SUESCUN, E., "La iglesia en su paisaje medieval. El estudio de Agurain-Salvatierra (Álava) a través de la lectura estratigráfica de alzados de la ermita de San Martín", *Munibe. Antropología-Arqueología*, 59, 2008, pp. 247-267. 8
- AZKÁRATE GARAI-OLAUN, A.; QUIRÓS CASTILLO, J.A., "Arquitectura doméstica altomedieval en la Península Ibérica. Reflexiones a partir de las excavaciones arqueológicas de la catedral de Santa María de Vitoria-Gazteiz, País Vasco", *Archeologia medievale*, XXVIII, 2001, pp. 25-60.
- CASTILLO, A. DEL, *Excavaciones altomedievales en las provincias de Soria, Logroño y Burgos*. Comisaría General de Excavaciones Arqueológicas. Madrid, 1972.
- ESCALONA MONGE, J., *Sociedad y Territorio en la Alta Edad Media Castellana. La Formación del Alfoz de Lara*. BAR S1079. Oxford, 2002.
- FRANCOVICH, R.; HODGES, R., *Villa to villages. The transformation of the Roman Countryside in Italy, c. 400-1000*, London, 2003.
- GARCÍA DE CORTAZAR, J.A., "Poblamiento y modelos de sociedad en la transición de la Antigüedad al feudalismo entre el Cantábrico y el Duero", *Sautuola*, VI, 1999, pp. 501-511.
- MARTIN VISO, I., *Poblamiento y estructuras sociales en el Norte de la Península Ibérica (siglos VI-XIII)*. Universidad de Salamanca, 2000.
- PADILLA LAPUENTE, J.I., *Yacimiento arqueológico de Cuyacabras. Despoblado, iglesia y necrópolis. Ermitorio de Cueva Andrés. Quintanar de la Sierra (Burgos)*. Universitat de Barcelona, 2002.
- PADILLA, J.I.; RUEDA, K.A., "El despoblado altomedieval de Cuyacabras (Burgos): Realidad, principios y argumentos". *Acta/Mediaevalia*, 29, 2008, pp. 575-604.

- PADILLA LAPUENTE, J.I.; ALVARO RUEDA, K., “Necrópolis rupestres y el poblamiento altomedieval en el Alto Arlanza (Burgos)”, *En la España Medieval*. Madrid, 2010.
- PADILLA, J.I.; RUEDA, K.A., “Asentamientos altomedievales y otras manifestaciones rupestres del Alto Arlanza”, *En In concavis petrarum habitaverunt: El fenómeno rupestre en el Mediterráneo medieval: de la investigación a la puesta en valor, IV Congreso internacional de arqueología, Arte e Historia de la Antigüedad Tardía y Alta Edad Media Peninsular*. (En prensa)
- PADILLA LAPUENTE, J.I.; ALVARO RUEDA, K., “La organización del espacio funerario entre la antigüedad tardía y el mundo medieval: de la necrópolis a los cementerios medievales hispanos” *En Arqueologia funerària al nordest peninsular, ss. VI-XII d.C. Problemes de cronologia* (N. Molist y G. Ripoll, edit.), Museu d’Arqueologia de Catalunya, *Monografies d’Olèrdola*, 3, 2011, pp. 41-70.
- PADILLA, J.I., RUEDA, K.A., Los grabados rupestres del despoblado medieval de Revenga (Burgos). *Munibe* 62, San Sebastián, 2011, pp 439-459.
- PADILLA J.I., RUEDA, K.A., La pileta del despoblado medieval de Revenga (Burgos): A propósito del lavado ritual de los difuntos y sus evidencias arqueológicas, *Pyrenae* 42/2, 2011, pp. 67-100.
- PADILLA LAPUENTE, J.I.; RUEDA, K.A.: Alberto del Castillo y la cronología de las tumbas llamadas “olerdolanas”, *En Arqueologia funerària al nordest peninsular, ss. VI-XII d.C. Problemes de cronologia* (N. Molist y G. Ripoll, edit.), Museu d’Arqueologia de Catalunya, *Monografies d’Olèrdola*, 3, 2011, pp. 33-40.
- PASTOR DÍAZ DE GARAYO, E., *Castilla en el tránsito de la Antigüedad al Feudalismo. Poblamiento, poder político y estructura social del Arlanza al Duero (siglos VII-XI)*. Valladolid, 1996.
- PORTELA, E.; PALLARES, M.C., Aproximación al estudio de las explotaciones agrarias en Galicia en los ss. IX-XII, *En: Actas de las I Jornadas de Metodología aplicada a las ciencias históricas, II, Historia Medieval*, Santiago de Compostela, 1975, pp. 9-13.
- PALLARES M.C.; PORTELA, E., De la villa altomedieval a la fortaleza del siglo XV. Fuentes escritas y arqueológicas en Galicia. *Asturiensia Medievalia*, Oviedo 8, 1995, pp. 47-69.
- PORTELA, E.; PALLARES, M.C., Elementos para el análisis de la aristocracia alto-medieval de Galicia: Parentesco y Patrimonio, *Studia Historica. Historia Medieval*, 5, pp.17-32, Salamanca, 1987.
- QUIRÓS CASTILLO, J.A.; VIGIL ESCALERA, A., “Networks of peasant villages between Toledo and Uelegia Alabense, Northwestern Spain (V – Xth centuries)”, *Archeologia Medievale*, XXXIII, 2007, pp. 79-128.
- QUIRÓS CASTILLO, J.A., “La génesis del paisaje medieval en Álava: la formación de la red aldeana”, *Arqueología y Territorio Medieval*, 13.1, 2006, pp. 49-94.
- QUIRÓS CASTILLO J. A., “Arqueología de los despoblados en Álava. La génesis de la red aldeana medieval”, *en Poblamiento, Territorio e Historia rural*, VI congreso sobre Sistemas agrarios, organización social y poder local. Lleida, 2008. pp. 547-571
- QUIRÓS CASTILLO J. A., (ed.), *The Archaeology of early medieval villages in Europe*, Universidad del País Vasco, 2009.

SOLAÚN BUSTINZA, J.L., "Zedelika y Lendoño de Arriba: dos aldeas altomedievales en Orduña. Nuevas aportaciones a la configuración del poblamiento altomedieval", *Kobie. Antropología Cultural*, 12, 2006-2007, pp. 187-210.

VIGIL-ESCALERA GUIRADO, A., "Granjas y aldeas altomedievales al norte de Toledo (450-800 D.C.)", *Archivo Español de Arqueología* 80, 2007, pp. 239-284.

